

Optimisation de la trajectoire sur un circuit de sport automobile

Aloïs DENOISEUX

Épreuve de TIPE

2023-2024

Optimisation de la trajectoire sur un circuit de sport automobile

1. Introduction

2. Théorie

3. Modélisation

4. Résultats

Introduction

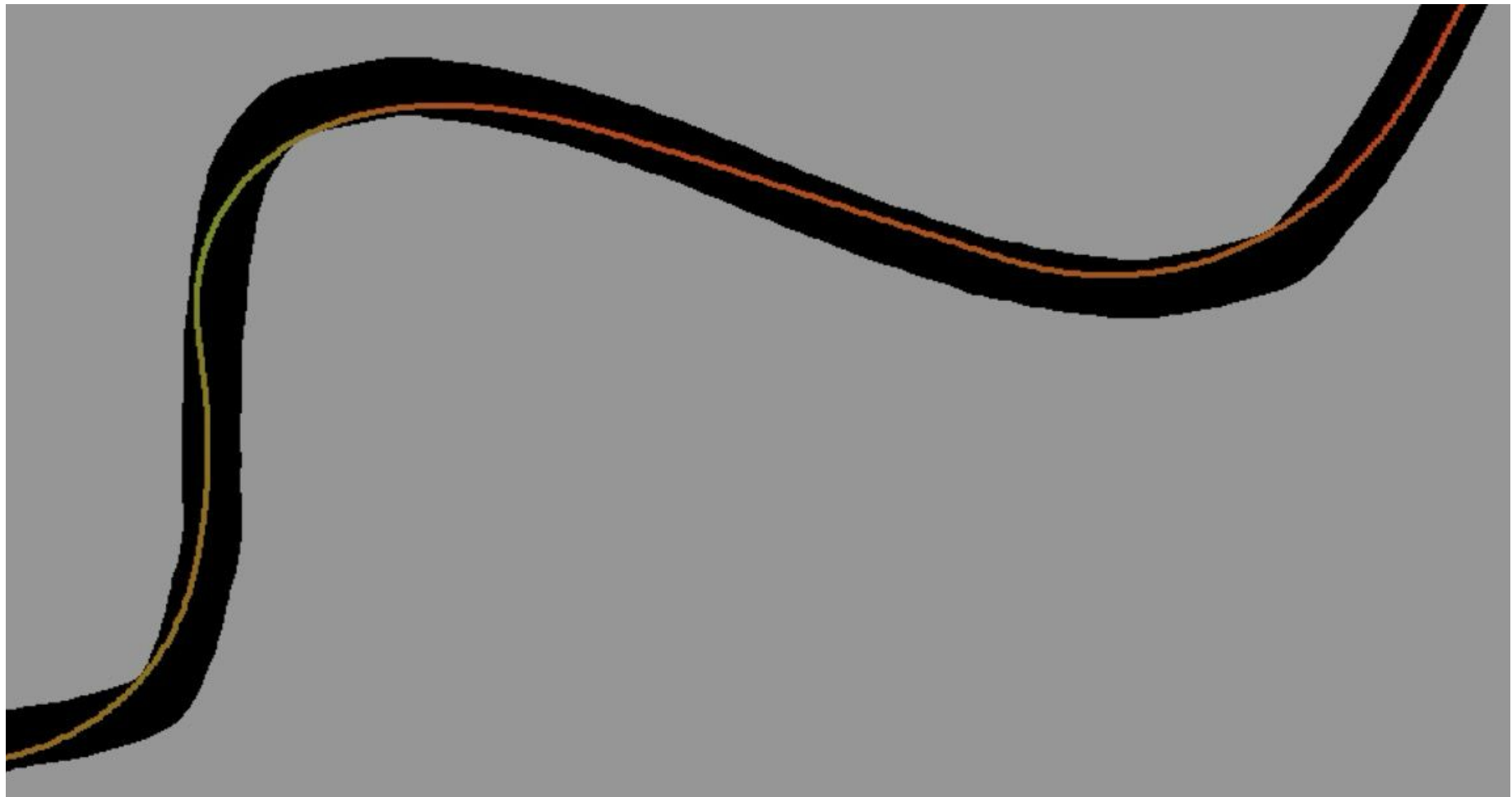


Illustration: Un exemple de trajectoire^[4]

Optimisation de la trajectoire sur un circuit de sport automobile

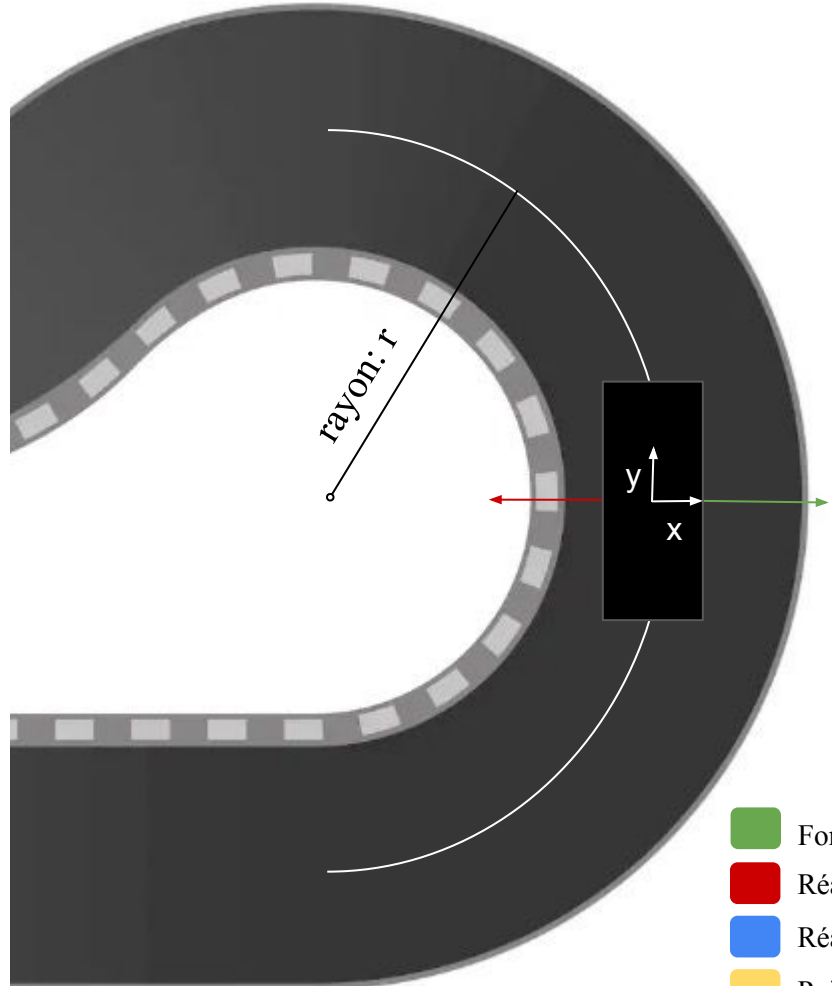
1. Introduction

2. Théorie

3. Modélisation

4. Résultats

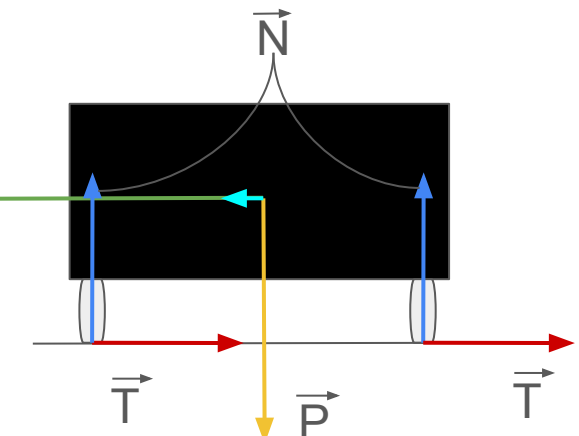
Théorie - Modèle choisi



Vu de haut

Hypothèses:

- Frottements pneu-sol selon e_y négligeables
- R_T supposé galiléen
- Trajectoire localement circulaire uniforme
- Vitesse constante pendant dt



Vu de face

Théorie - Vitesse maximale (Sans effets aérodynamiques)

On applique un PFD sur {voiture} dans R_{voiture} non galiléen, en rotation uniforme autour de R_T galiléen

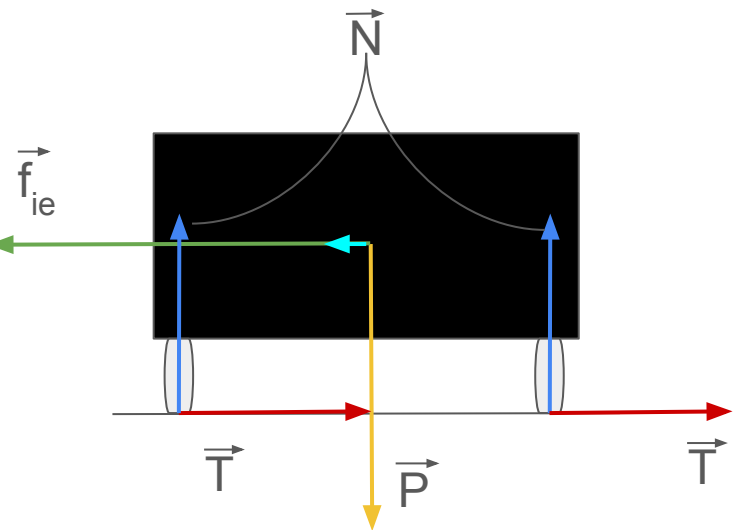
$$m \cdot \vec{a} = \vec{T} + \vec{f}_{ie} + \vec{P} + \vec{N} + \vec{f}_{ic}$$

Et, en utilisant la Loi de Coulomb dans le cas limite d'adhérence:

$$||\vec{N}|| = f \cdot ||\vec{T}||$$

On obtient en projetant:

$$v_{\max} = \sqrt{f_d \cdot g \cdot r}$$



- [Green square] Force d'inertie d'entraînement
- [Red square] Réaction tangentielle du support
- [Blue square] Réaction normale du support
- [Yellow square] Poids
- [Cyan square] Force de Coriolis

Théorie - Vitesse maximale (Avec effets aérodynamiques)

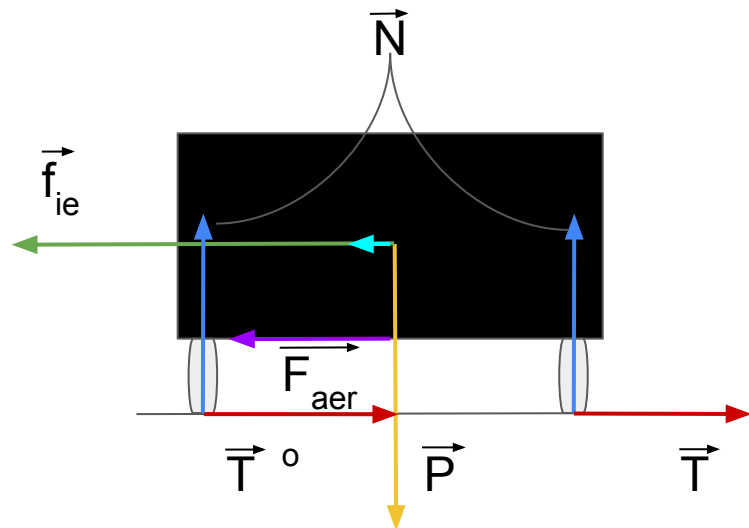
Force supplémentaire liée au profil de la voiture

$$F_{\text{aero-max}} \approx 3 \times 10^4 \text{ N}$$

$$F_{\text{aero}} = m_{\text{sup}} \times g$$

En reprenant nos calculs:

$$v_{\max} = \sqrt{\left(\frac{m_{\text{sup}} + m}{m}\right) \cdot g \cdot f_d \cdot r}$$



- [Green square] Force d'inertie d'entraînement
- [Red square] Réaction tangentielle du support
- [Blue square] Réaction normale du support
- [Yellow square] Poids
- [Cyan square] Force de Coriolis
- [Purple square] Force aérodynamique

Théorie - Effets non pris en compte

“DRS”: Système de réduction de traînée, +1.5s

“KERS”: Système de récupération d'énergie au freinage, +0.6s

Différents types de pneus (Soft, Medium, Hard, Intermediate, Wet)

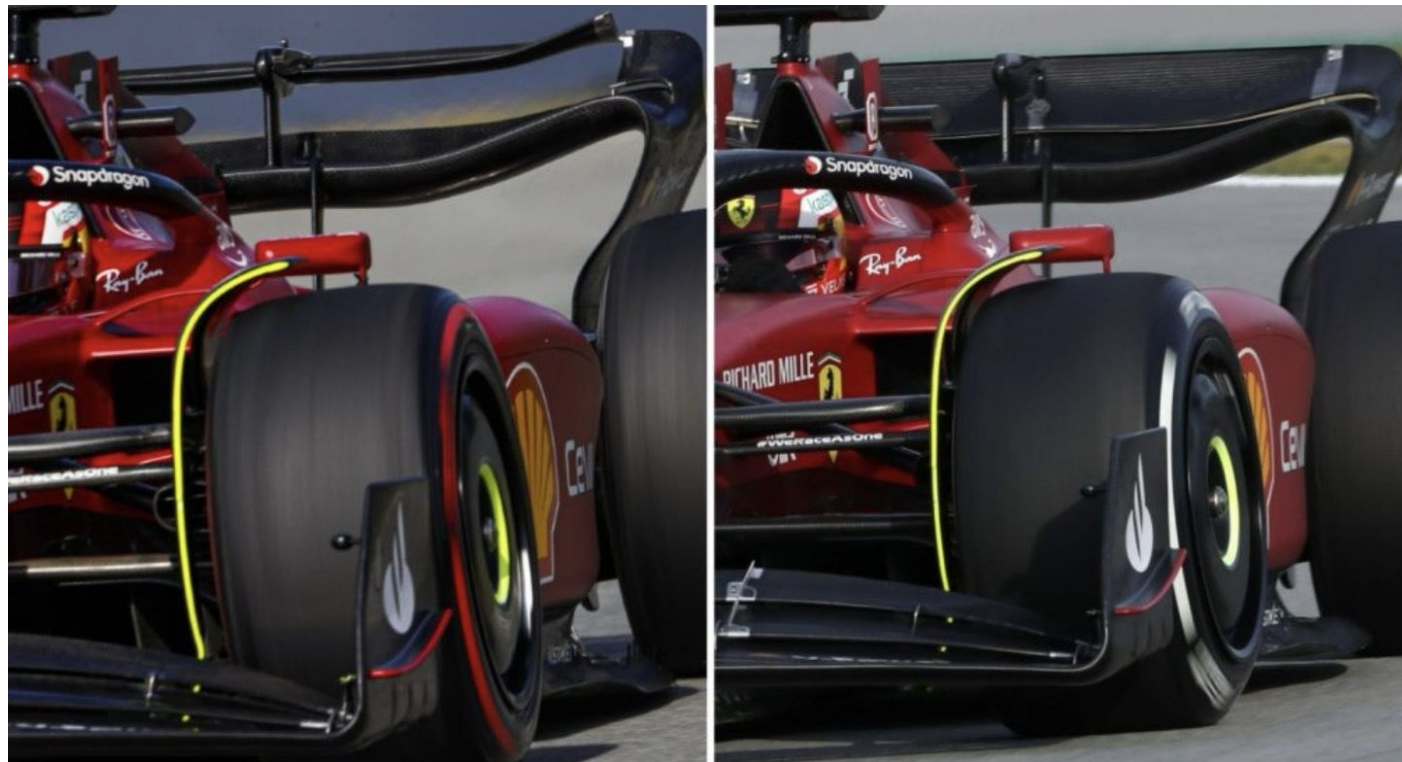


Illustration: Prashant Bhadauria^[12]

Optimisation de la trajectoire sur un circuit de sport automobile

1. Introduction

2. Théorie

3. Modélisation

4. Résultats

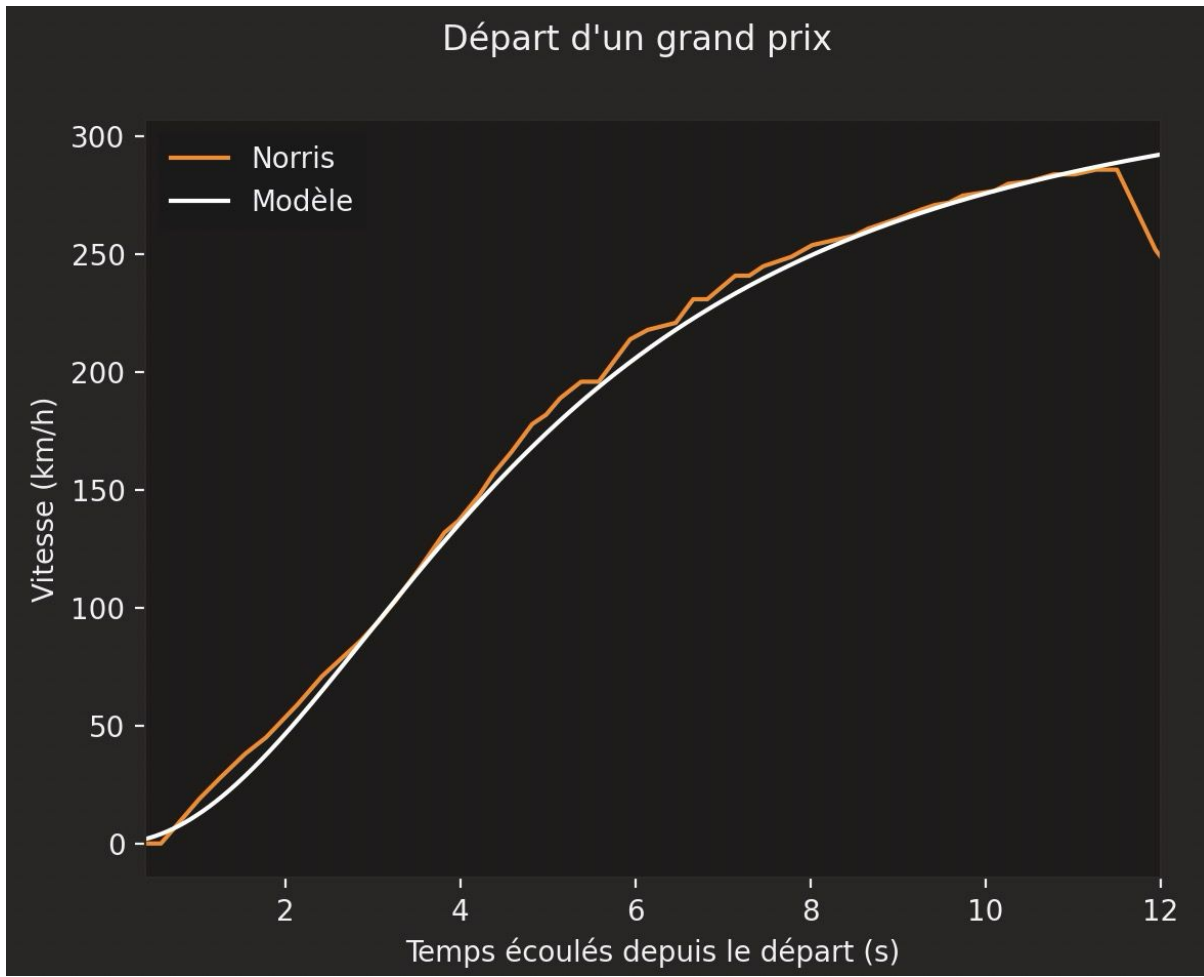
Objectifs:

- Modélisation suffisamment réaliste pour obtenir des trajectoires précises
- Cohérence du modèle avec la théorie précédente (~2s de retard par tour, vitesse aux virages cohérente)

Limites:

- Configuration fixe entre les courses, valide pour une unique écurie (McLaren F1 Team)
- Contrôles restreints à: accélération, freins et direction.

Modélisation - Paramètres physiques



On effectue une régression pour modéliser la vitesse:

- Courbe sigmoïde symétrique
- Moyenne des courbes pour tous les circuits

$$f(t) = a + \frac{d-a}{1+\left(\frac{t}{b}\right)^c}$$

$$a = 336, \quad b = 4.81, \quad d = 0, \quad c = 2.08632$$

Modélisation - Réseau de neurones

- Réseau de neurones entraîné par évolution génétique, similaire à l'évolution humaine (apprentissage par renforcement)
- 26 paramètres d'entrée, 2 de sortie
- 78 neurones, soit ~ 2100 poids ajustables

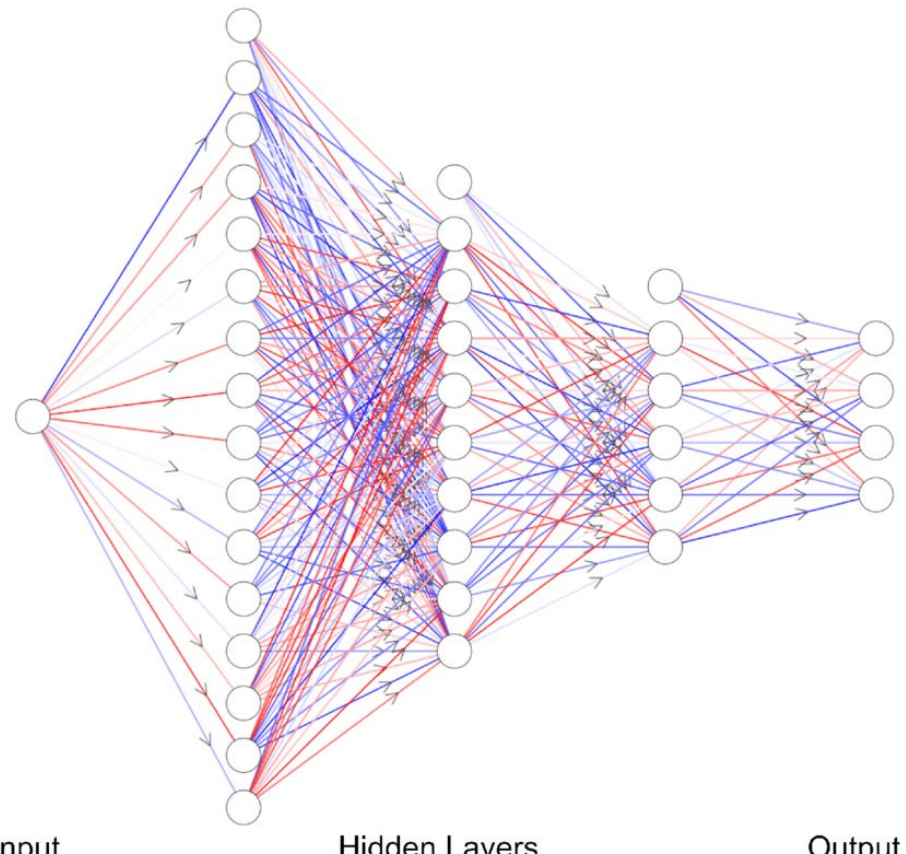
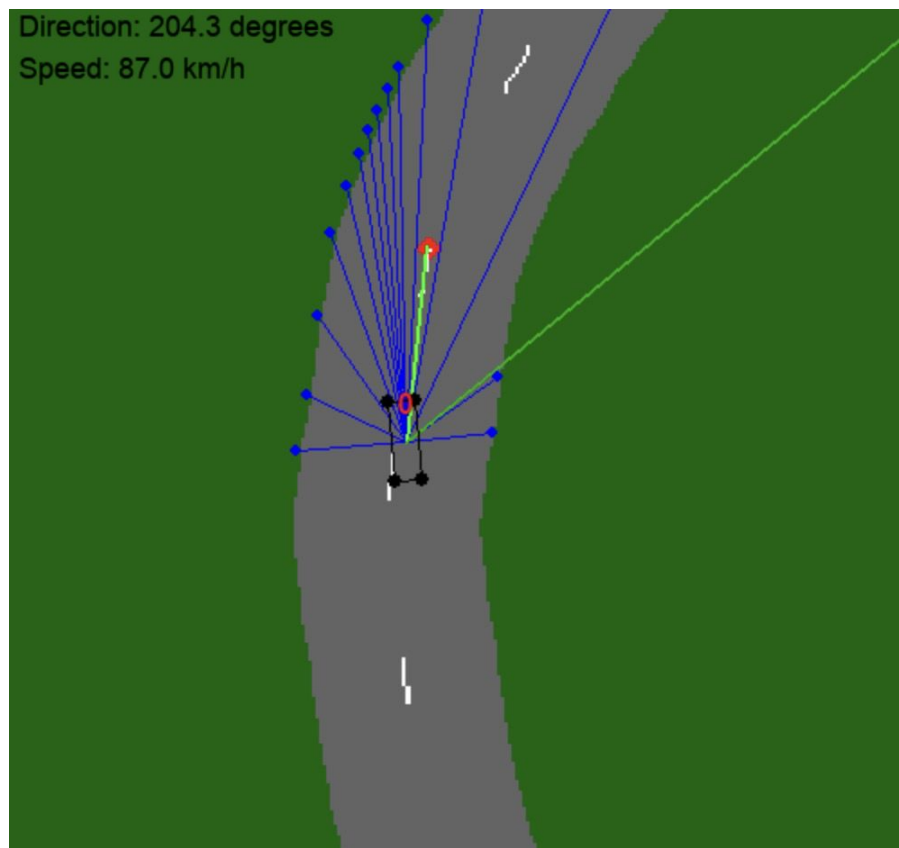


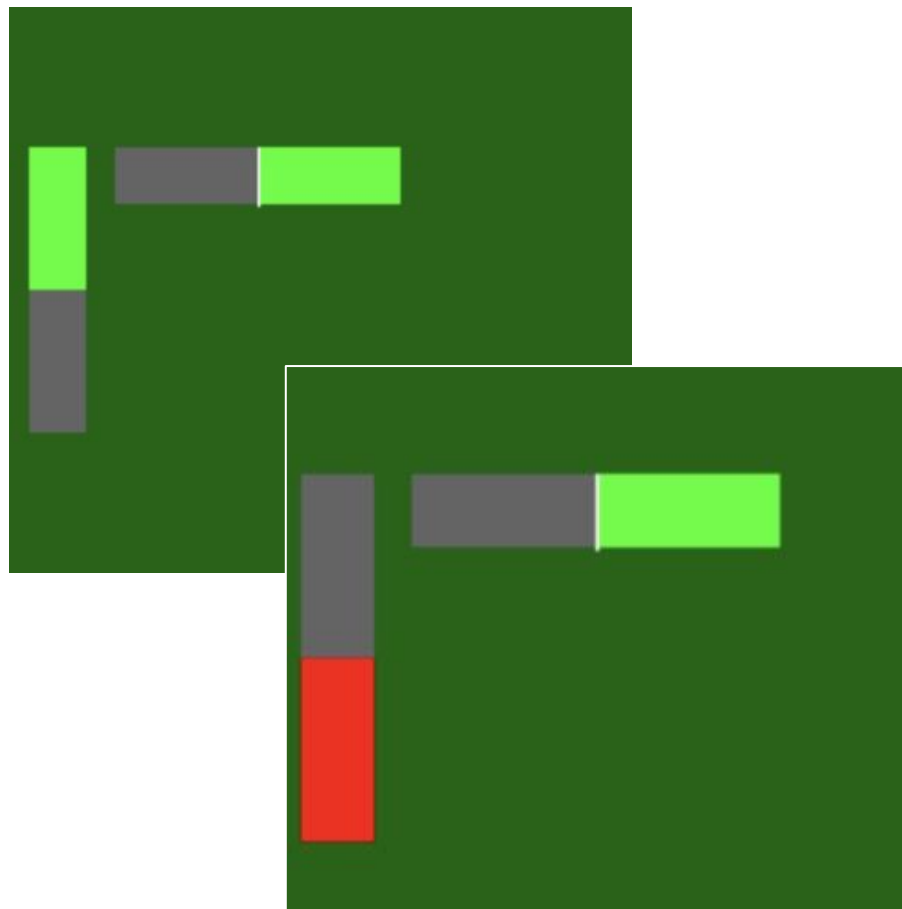
Illustration: Réseau de neurone [5]

Modélisation - Entrées et sorties

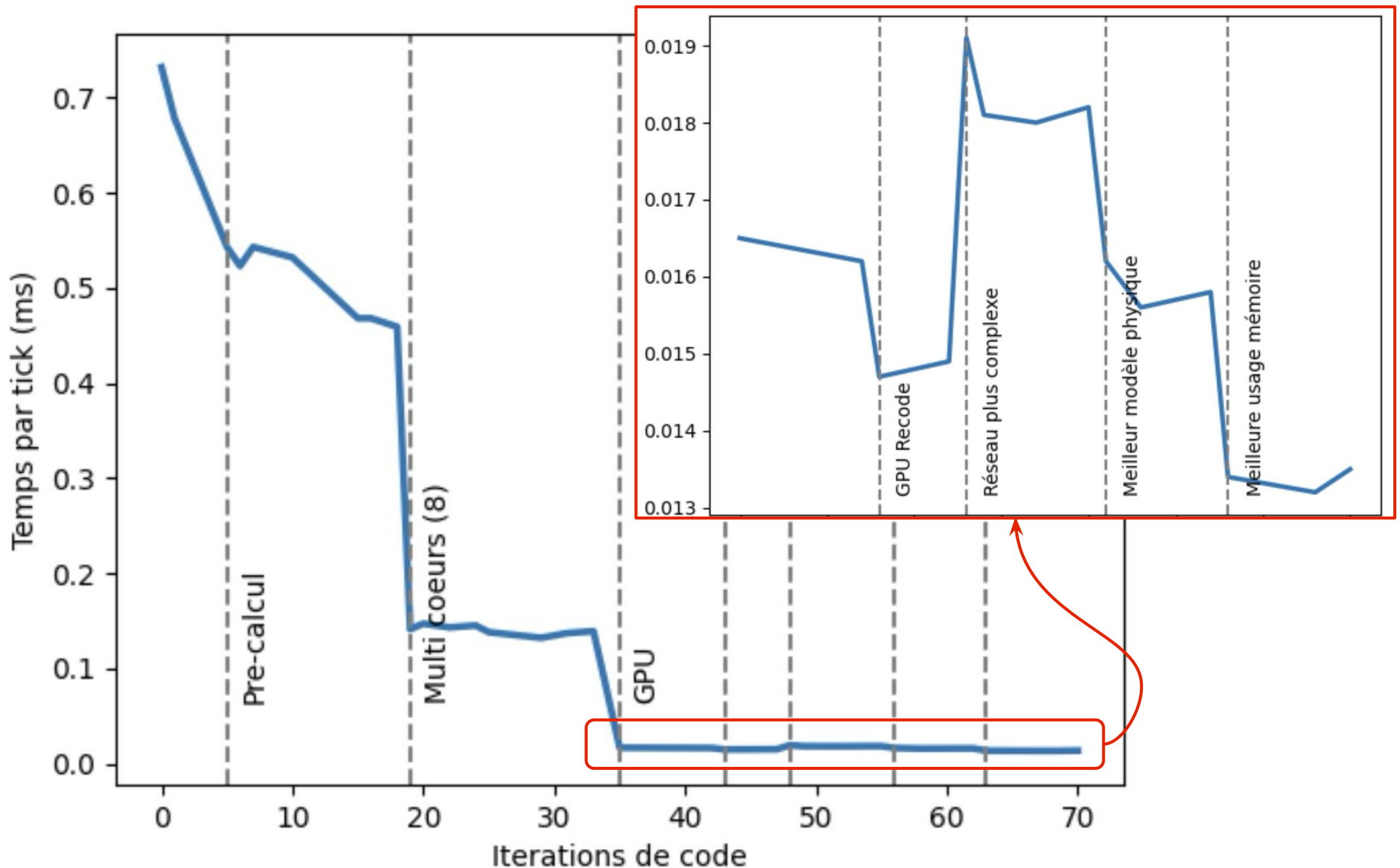
Entrées



Sorties



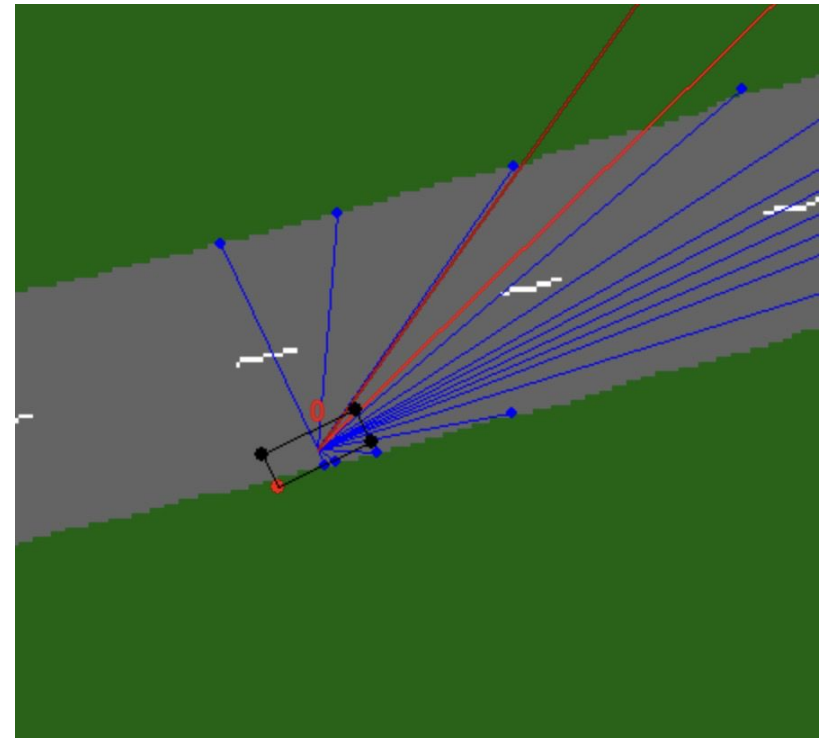
Modélisation - Performance



Modélisation - Algorithme et utilisation du GPU

GPU - Graphics Processing Unit - Carte Graphique

- Extrêmement parallélisable
- Point faible: conditions de courses
- Rend le code $\sim 10x$ plus rapide

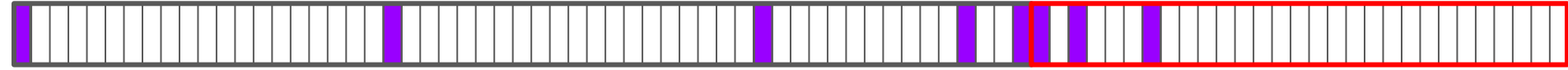


Case recherchée

Configuration initiale du circuit



1 2 3 5 8 7 6 4



Cases explorées

Exploration du GPU

Optimisation de la trajectoire sur un circuit de sport automobile

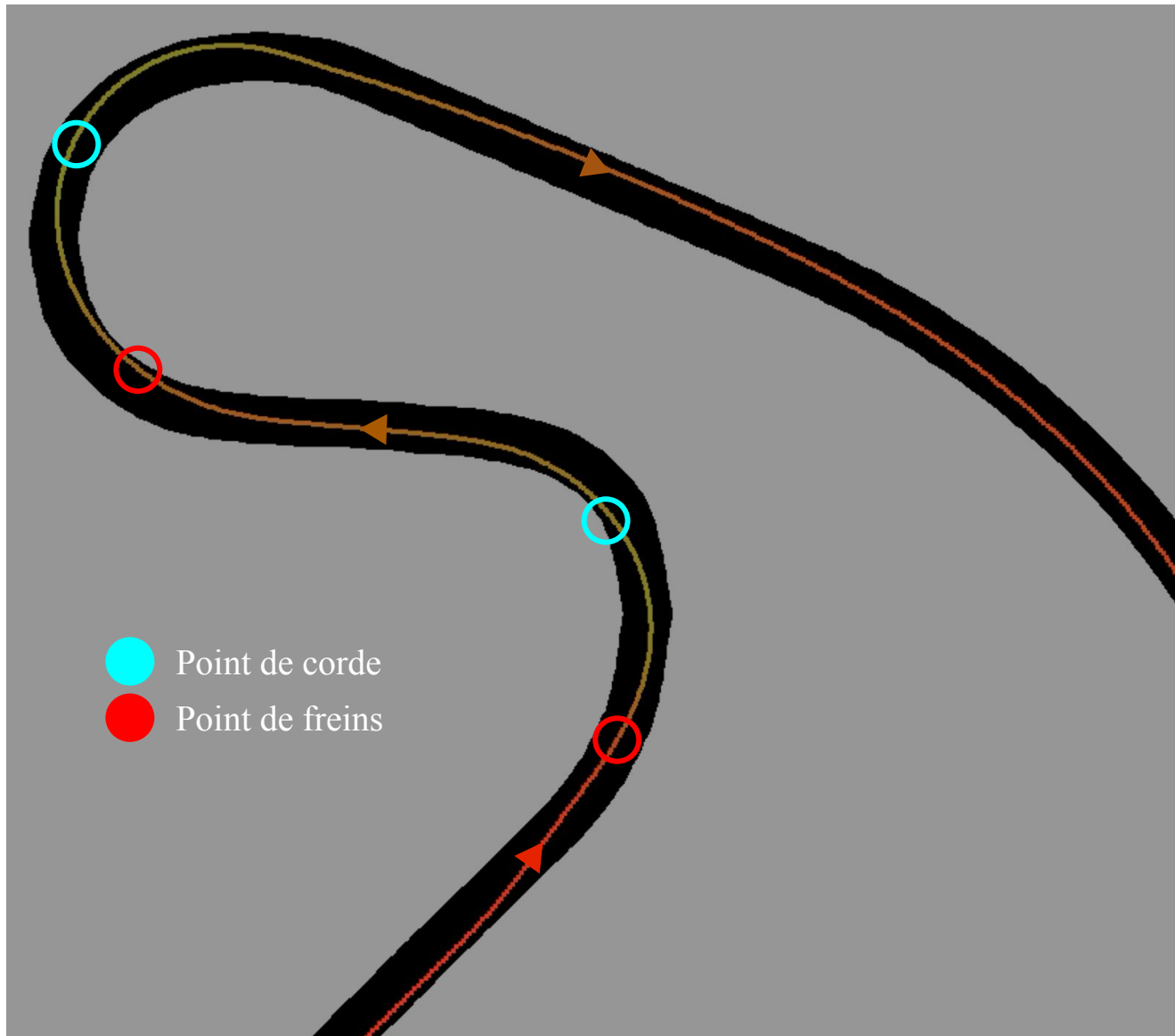
1. Introduction

2. Théorie

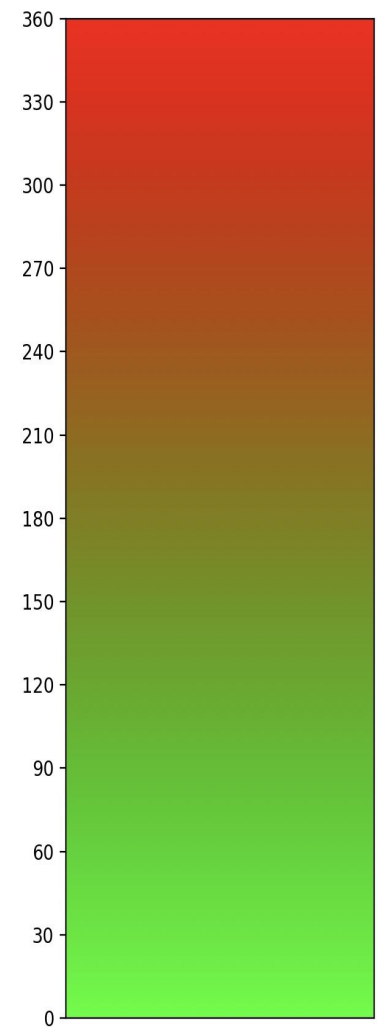
3. Modélisation

4. Résultats

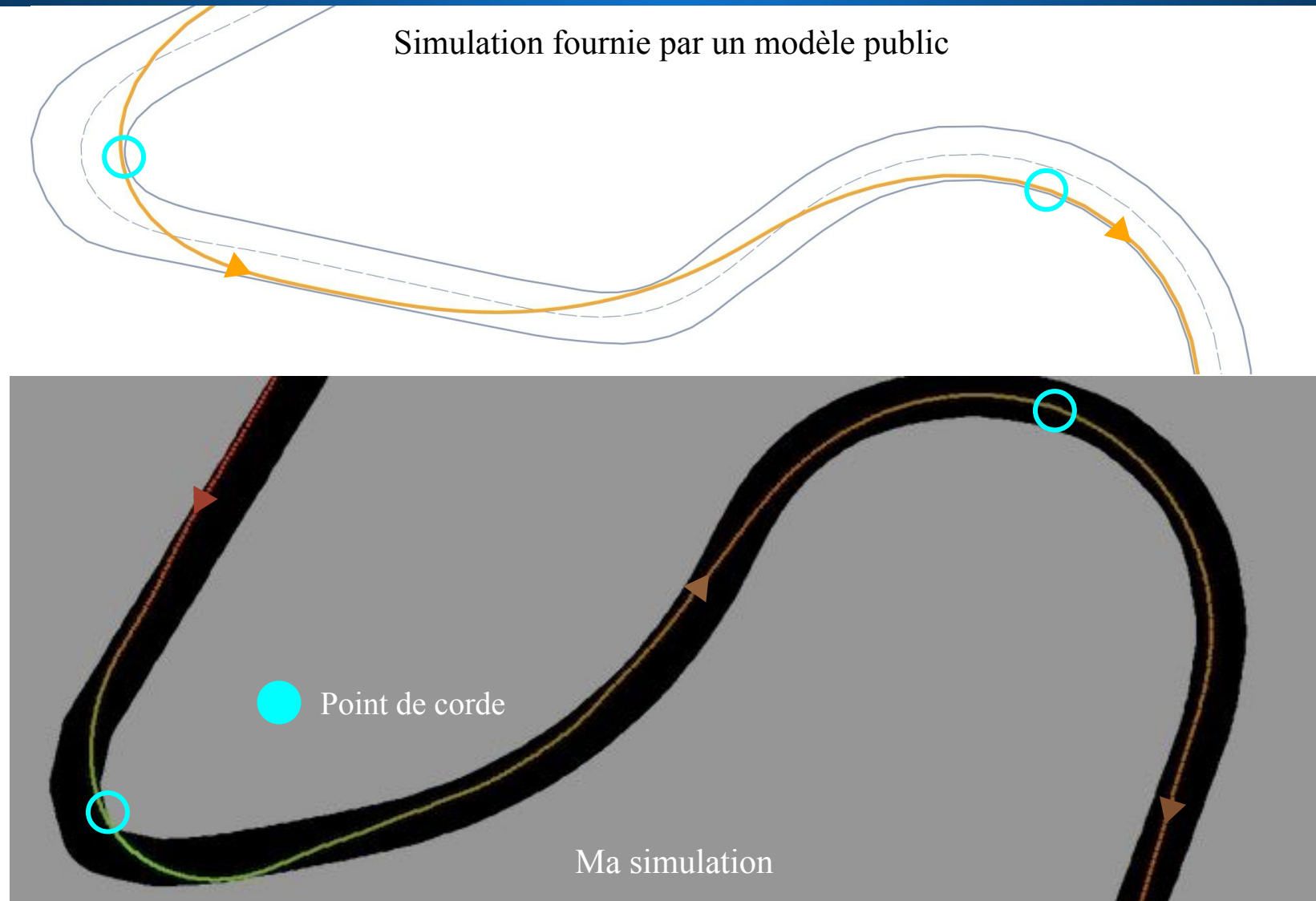
Résultats - Visualisation (1)



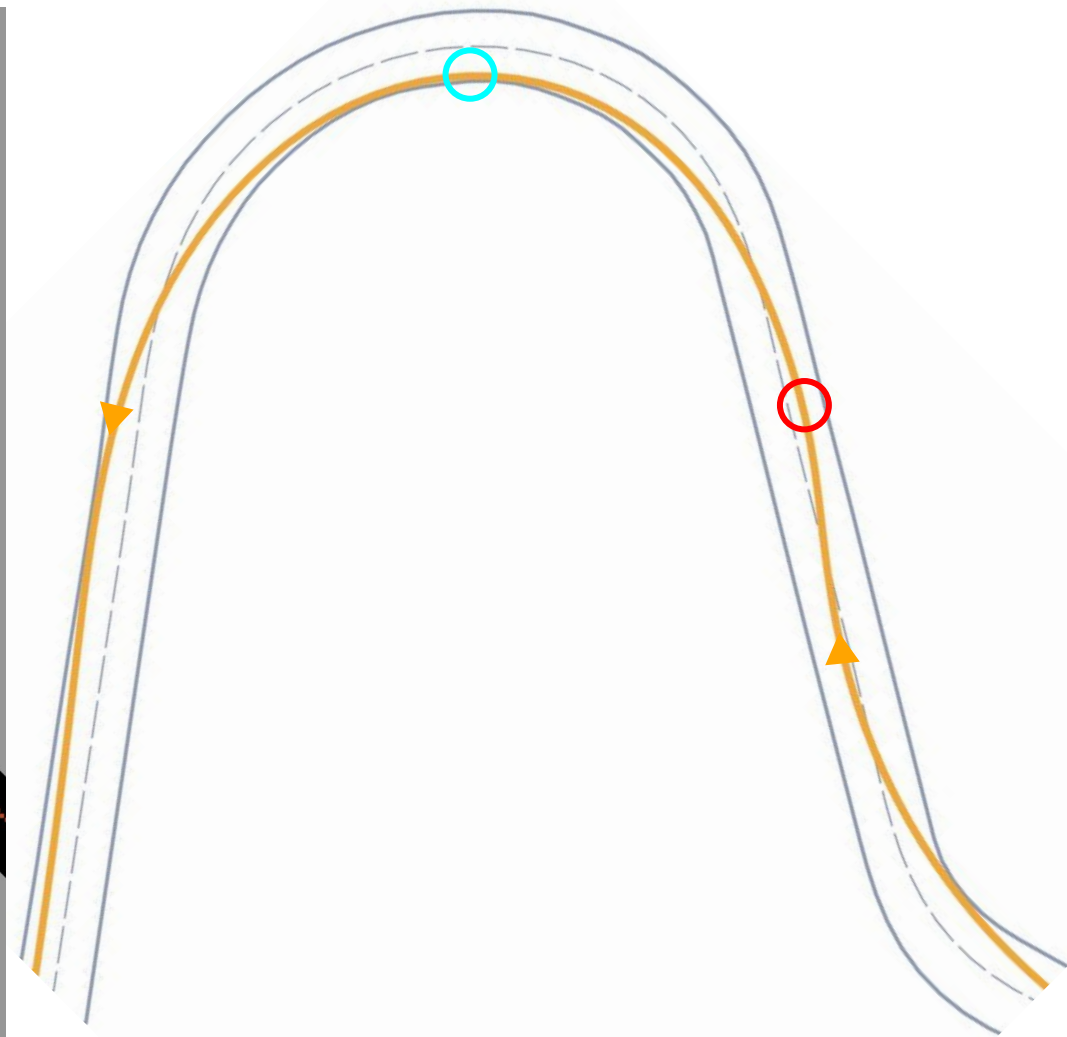
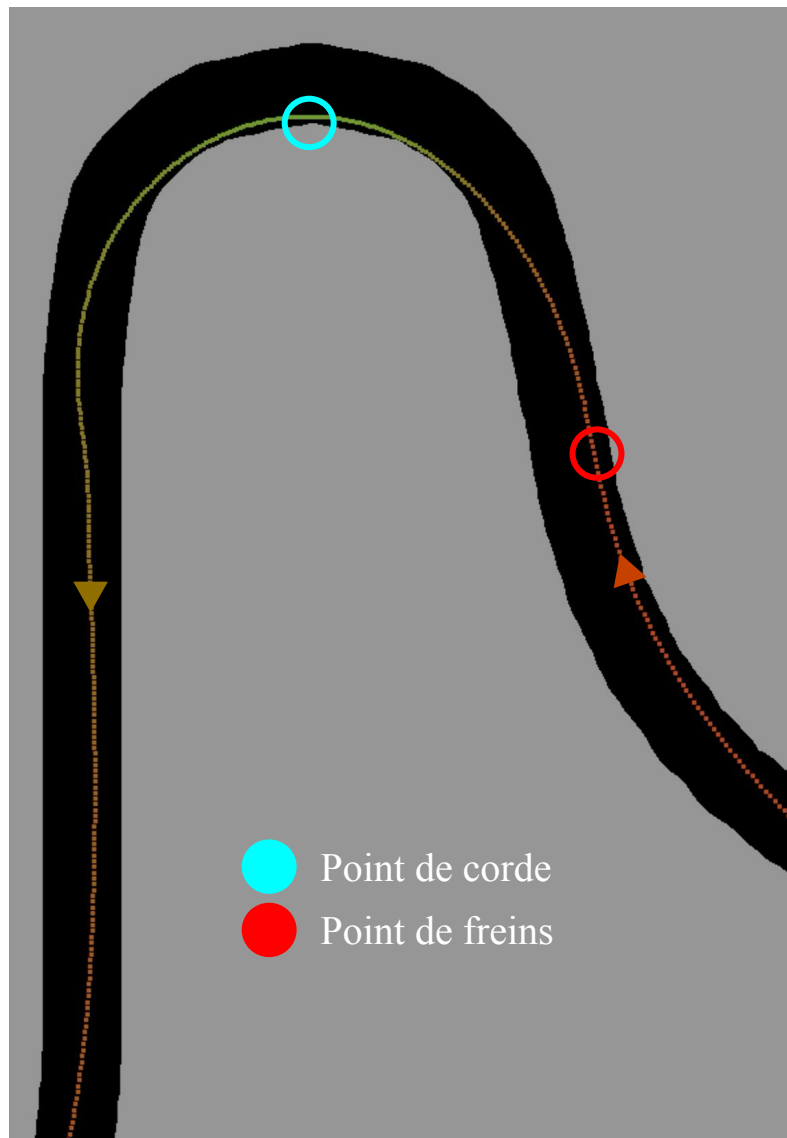
Vitesse



Résultats - Comparaison (1)

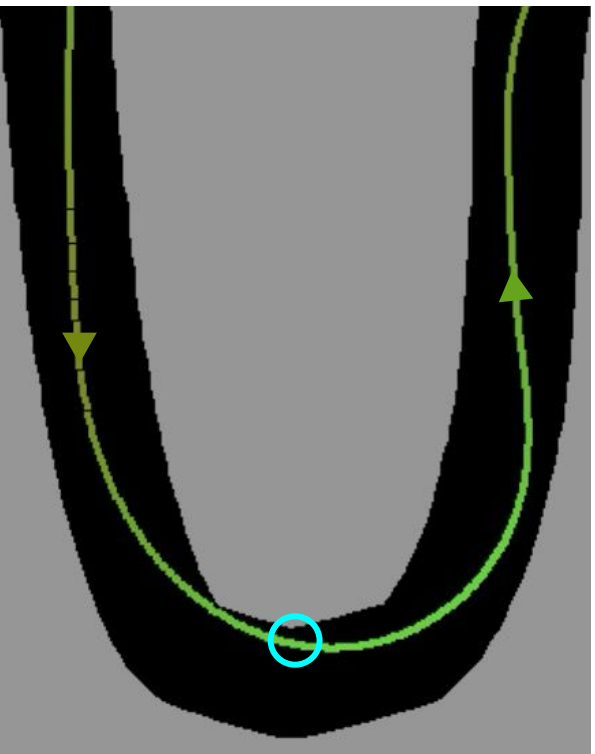


Résultats - Comparaison (2)



Résultats - Comparaison à des vrais pilotes de F1

Mon modèle

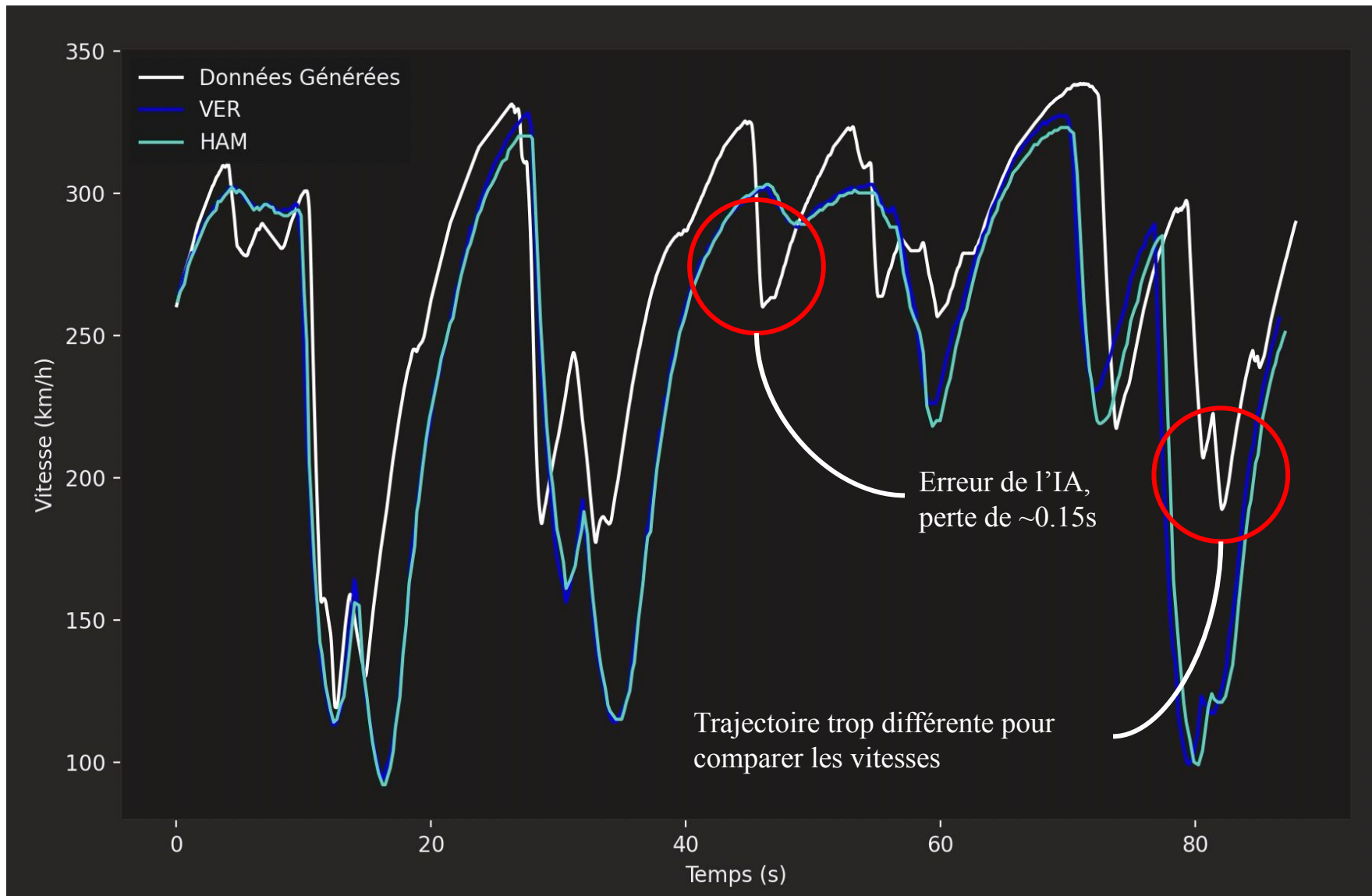


Point de corde

Pilotes de Formule 1



Résultats - Comparaison à des pilotes de F1



Résultats finaux

Résultats sur tous les circuits:

Écart moyen: 3.1s

Écart relatif moyen: 3.4%

En excluant Monaco et le Hungaroring

Écart moyen: 1.6s

Écart relatif moyen: 1.8%

Circuit	Générations	Temps d'entraînement (Heures CPU)	Delta	À convergé?
melbourne	6526	413.22	-2.867s	Oui
monaco	6259	404.67	-8.567s	Oui
cota	5658	385.44	-1.167s	Oui
abu-dhabi	6054	398.11	-2.933s	Oui
redbullring	5126	368.42	-1.583s	Oui
spa	2415	147.46	-4.033s	Oui
silverstone	2410	153.68	+1.867s	Oui
hungaroring	4991	364.1	-8.817s	Oui
spain	2845	162.66	-0.4s	Oui
imola	5156	369.38	-1.5s	Oui
brazil	5067	366.53	+5.133s	Oui
mexico	4005	198.34	-2.9s	Oui
monza	5441	378.5	-3.733s	Oui
singapoure	9121	669.58	+1.483s	Oui
bahrain	4885	360.7	-0.533s	Non

Conclusion

- Modèle suffisamment précis pour obtenir des trajectoires réalistes et réelles
- Pour aller plus loin, on pourrait:
 - Ajouter plusieurs voitures et des collisions
 - Rendre les paramètres évolutifs (pluie, pneus utilisés, condition du circuit, température)
 - Donner plus de contrôle à l'IA (équilibre des freins, système de réduction de traînée), pour être plus proche d'une situation réelle

Références

Références:

1. (PDF) optimization of driver and chassis of FWD racing car for faster cornering. Available at:
https://www.researchgate.net/publication/301322219_Optimization_of_driver_and_chassis_of_FWD_racing_car_for_faster_cornering
2. Davidbonde *et al.* (2021) Track racing - setup and riding style, esk8.news. Available at:
<https://forum.esk8.news/t/track-racing-setup-and-riding-style/9172?page=9>
3. Williams, D. (2016) 3.2: Fundamentals: The optimal racing line, Virtual Racing School (VRS). Available at:
<https://virtualracschool.com/academy/iracing-career-guide/second-season/the-optimal-racing-line/>
4. How to drive the perfect racing line - fast through Apex & Exit (2022) Driver61. Available at:
<https://driver61.com/uni/racing-line/>
5. (PDF) Image Analysis and machine learning in Digital Pathology: Challenges and opportunities. Available at:
https://www.researchgate.net/publication/304823681_Image_Analysis_and_Machine_Learning_in_Digital_Pathology_Challenges_and_Opportunities
6. PIER LUCA LANZI : Searching for the optimal racing line using genetic algorithms : Proceedings of the 2010 IEEE Conference on Computational Intelligence and Games, IEEE
7. YING XIONG : Racing Line Optimization : Masters Thesis, Shanghai Jiao Tong University with Massachusetts Institute of Technology, 2010
8. ARAVINDPAI PAI : Analyzing Types of Neural Networks in Deep Learning : <https://www.analyticsvidhya.com/blog/2020/02/cnn-vs-rnn-vs-mlp-analyzing-3-types-of-neural-networks-in-deep-learning/>
9. S. RISUCHAT : Development of a car physics engine for games : Masters Thesis, Bournemouth University, 2012
10. FÉDÉRATION INTERNATIONALE DE L'AUTOMOBILE : FIA 2023 Sporting Regulations - Formula 1 :
https://www.fia.com/sites/default/files/fia_2023_formula_1_sporting_regulations_-_issue_2_-_2022-09-30.pdf
11. MARCO GADOLA, DAVID VETURRI, DANILO CAMBIAGHI : A Tool for Lap Time Simulation : Research Paper, University of Brescia, 1996

Références:

11. VINCENT BARRA, LAURENT MICLET, ANTOINE CORNUÉJOLS : Apprentissage artificiel - 4e édition, Concepts et algorithmes : 2021, ISBN-13 978-2-416-00104-8
12. *Collection de Pistes de course F1: Vecteur Gratuite* (no date) *Freepik*. Available at:
https://fr.freepik.com/vecteurs-libre/collection-pistes-course-f1_2775878.htm#query=circuit%20f1&position=4&from_view=keyword&track=ais_user&uuid=ba681c3c-33ee-489b-b17b-a5f480b33beb (Accessed: 23 May 2024).
12. Anatomy of an overtake using DRS: A data analysis perspective, Prashant Bhaduria
13. Carrera Go, <https://noscollections.ddns.net/carrerago/?p=656>

Annexe

Une configuration simplifiée

- 3 points importants:

- Point de virage
- Point de corde
- Point d'accélération

- On ne considère qu'un unique virage dans ce modèle
- Plusieurs trajectoires possibles

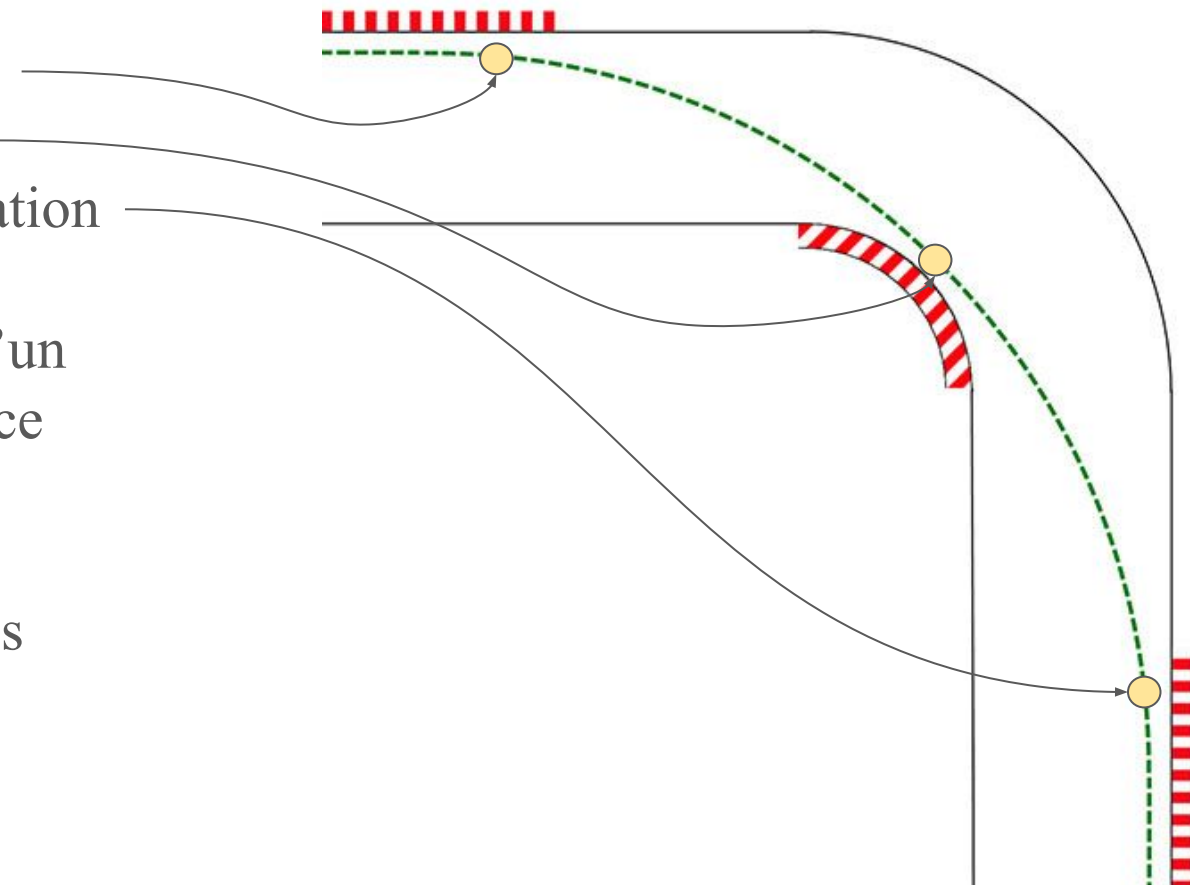


Illustration: Trajectoire intuitive sur un seul virage^[3]

Limites de cette modélisation théorique simple

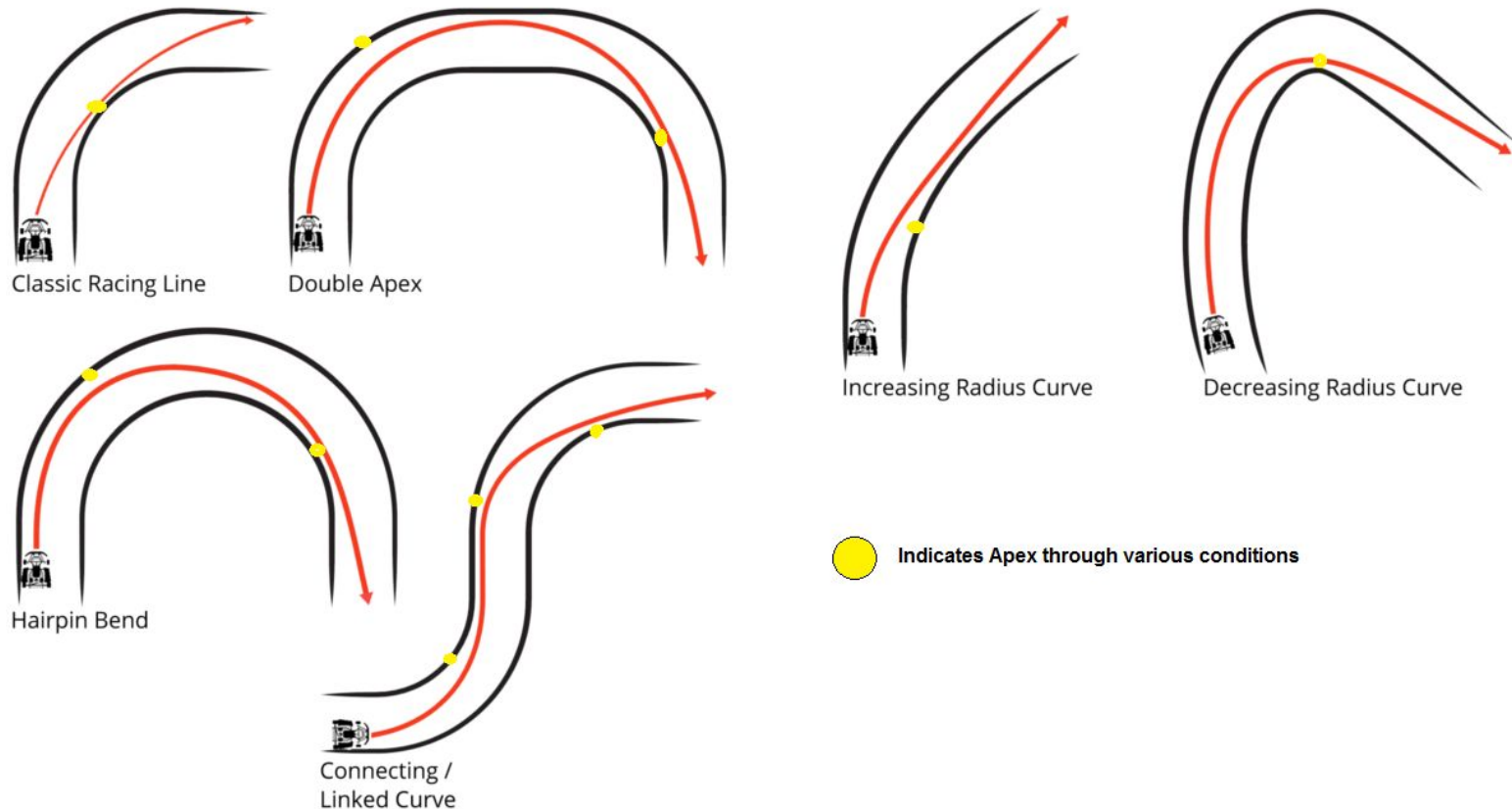


Illustration: Différents types de trajectoires^[2]

D'autres approches non abordées

- Courbes de Bézier/splines
- Résolution analytique par la vitesse maximale
- Résolution par intelligence artificielle et apprentissage (méthode choisie)

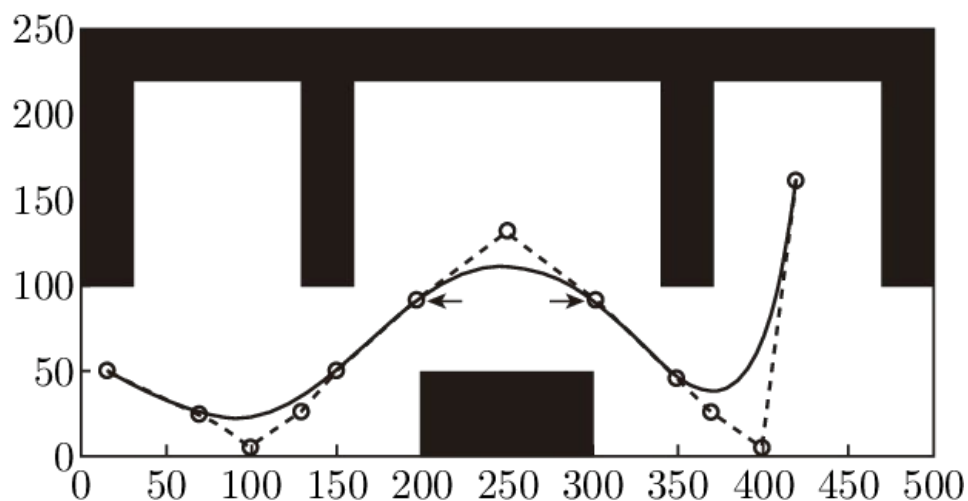


Illustration: Courbes de Bézier

Estimation des effets aérodynamiques

Pression dynamique:

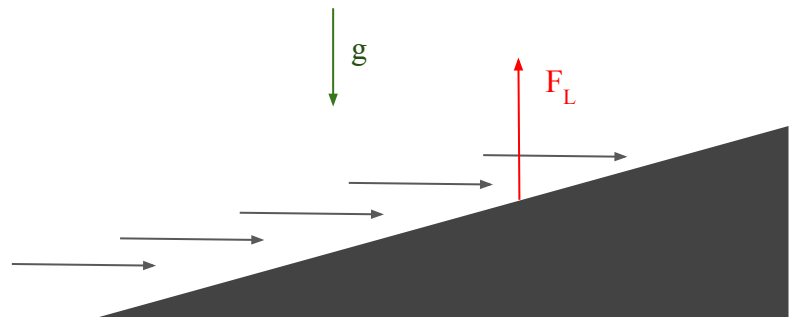
$$q = \frac{1}{2} \rho C^2$$

Coefficient de portée:

$$C_L \approx 2\pi \sin(\alpha)$$

Force d'appui:

$$F_L = q \cdot S \cdot C_L$$



Expressions utiles:

$$\alpha = \tan^{-1} \left(\frac{H}{L} \right) \quad S = L \times W \quad \sin(\tan^{-1}(x)) = \frac{x}{\sqrt{1+x^2}}$$

Ainsi: $F_L = \left(\frac{1}{2} \rho C^2 \right) \cdot (L \times W) \cdot \left(2\pi \sin \left(\tan^{-1} \left(\frac{H}{L} \right) \right) \right)$ et $m_{eq} = \frac{F_L}{g}$

En simplifiant:

$$m_{eq} = \frac{\rho C^2 L W \pi \frac{H}{\sqrt{H^2 + L^2}}}{g}$$

Estimation des effets aérodynamiques - Calcul du coefficient de porté

$$L = \rho V_\infty \Gamma$$

Théorème de Kutta-Joukowski

$$\Gamma = 2V_\infty c\alpha$$

c: longueur de corde

$$C_L = \frac{L}{\frac{1}{2}\rho V_\infty^2 S}$$

Coefficient de portée

$$C_L = \frac{2\Gamma}{V_\infty S}$$

$$C_L = m\alpha$$

Avec m une constante, qui peut être trouvée empiriquement

Différents réseaux de neurones

- Deux catégories de réseaux:
 - Propagation avant
 - Réseau récurrent
- Méthodes d'apprentissage:
 - Apprentissage supervisé
 - Apprentissage non supervisé
 - Apprentissage par renforcement

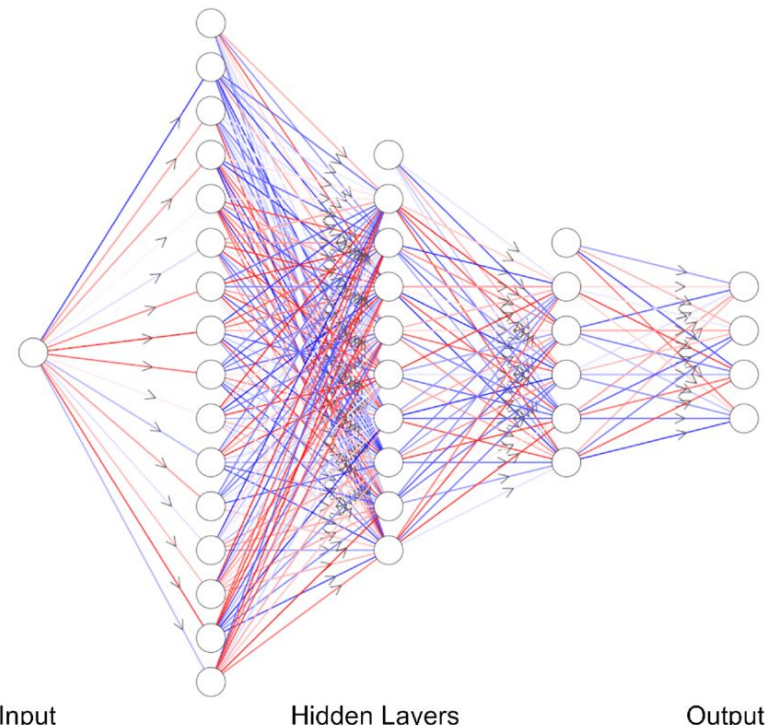


Illustration: Réseau de neurone à propagation avant [5]

L'apprentissage génétique

1. Évaluation de la population
2. Choix des survivants
 - a. Choix aléatoire
 - b. Mélange de différents agents
 - c. Choix pondéré au score
3. Début de la prochaine génération

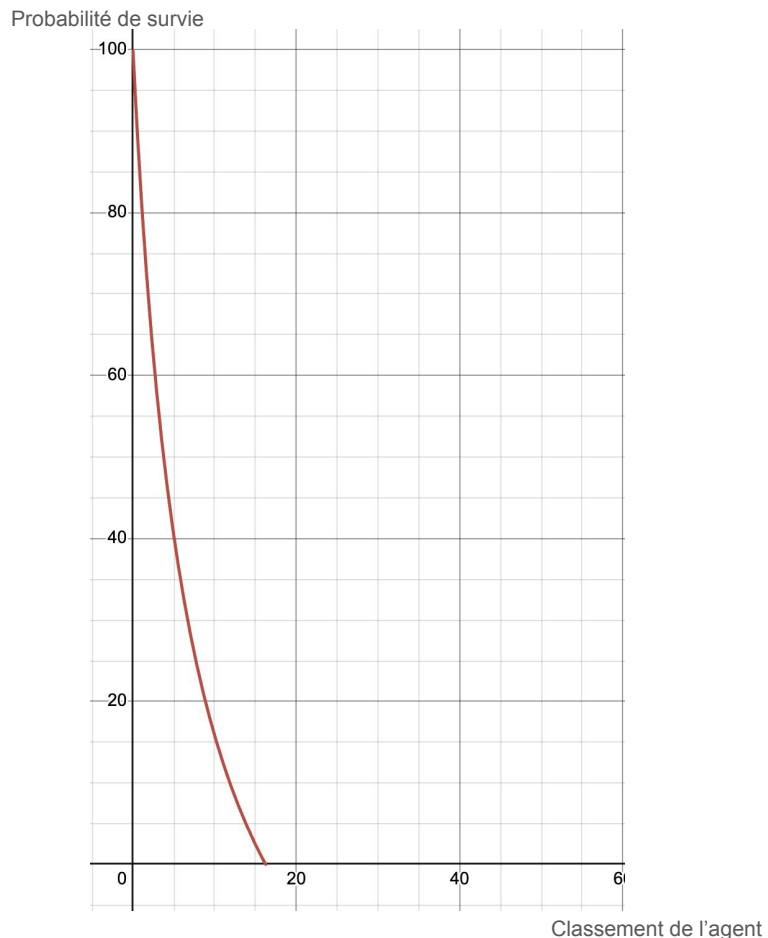
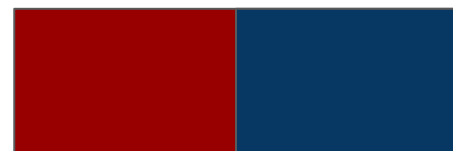


Illustration: Choix pondéré au score

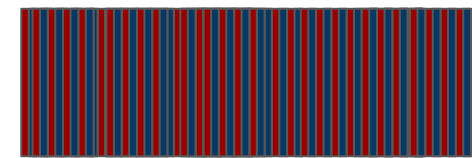
Mélange des agents

Père



One-point crossover

Mère



Uniform crossover

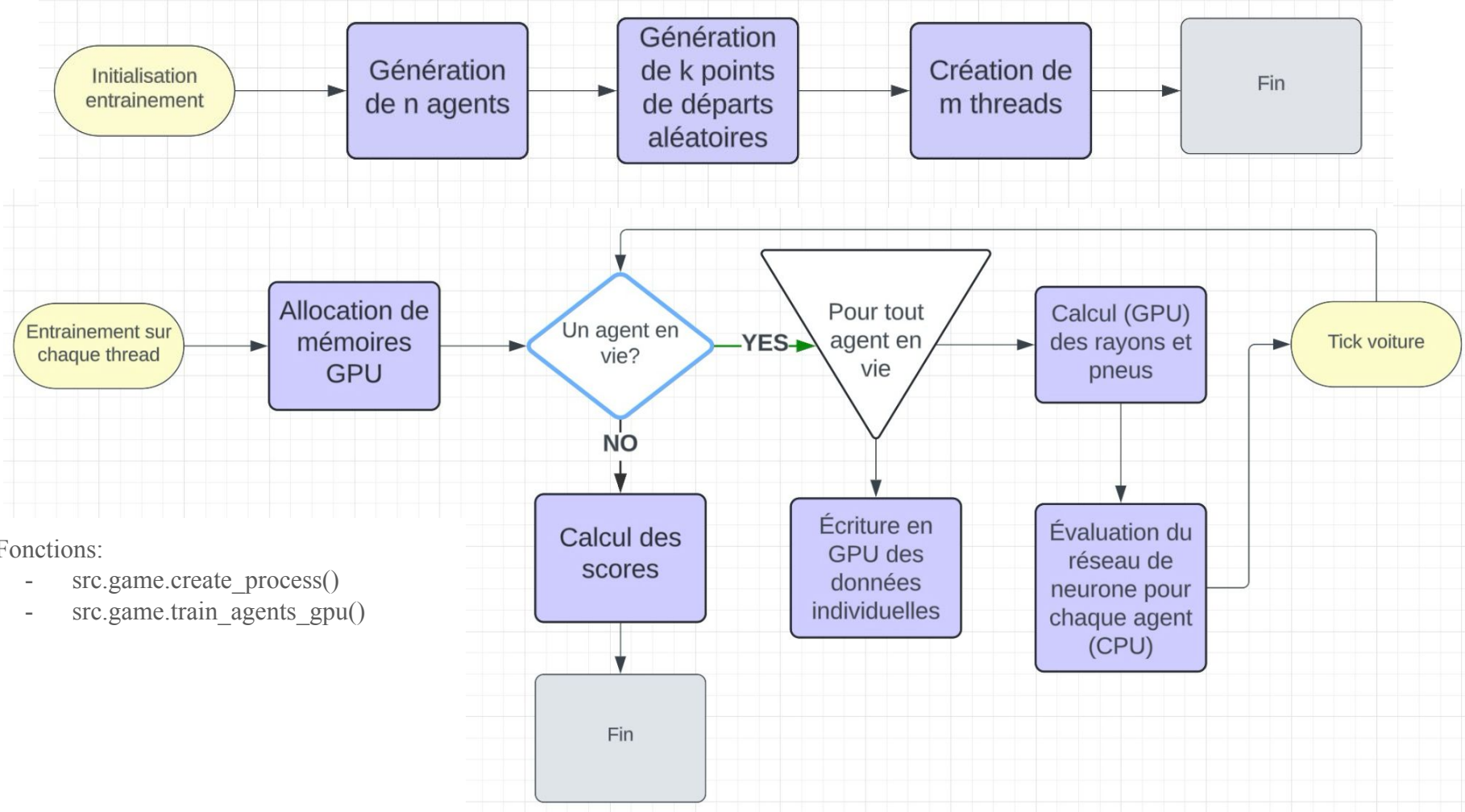
N-points crossover



Average crossover



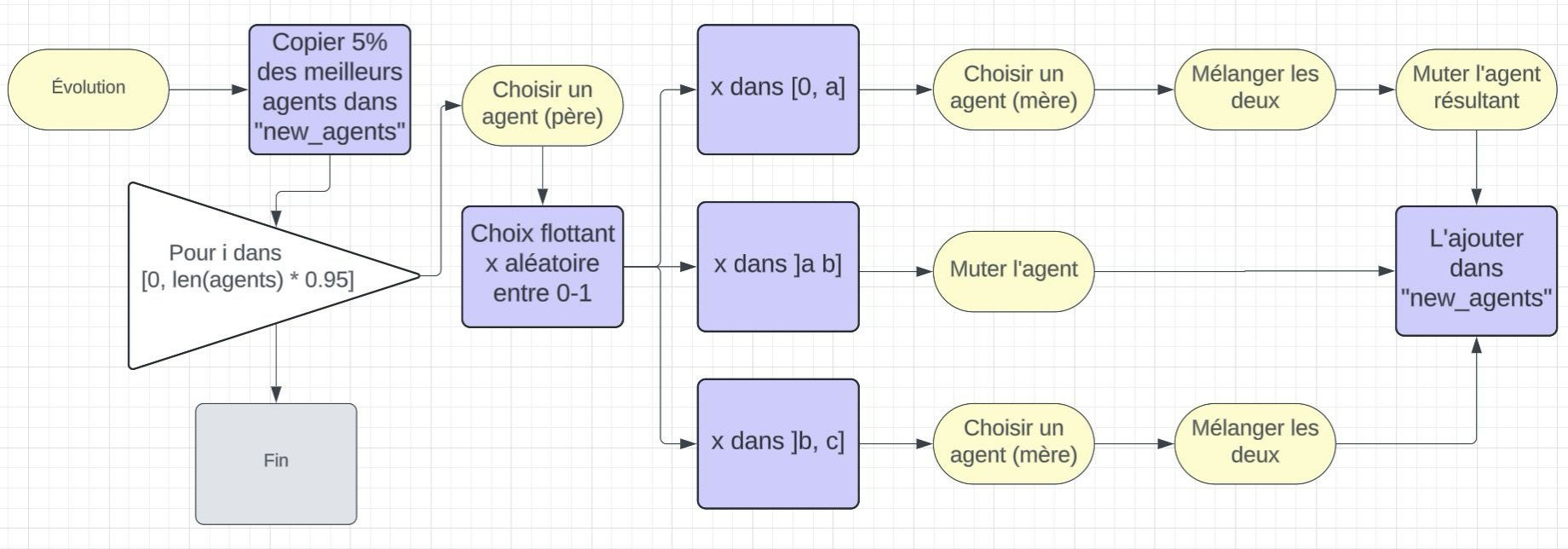
Entraînement des agents



Fonctions:

- src.game.create_process()
- src.game.train_agents_gpu()

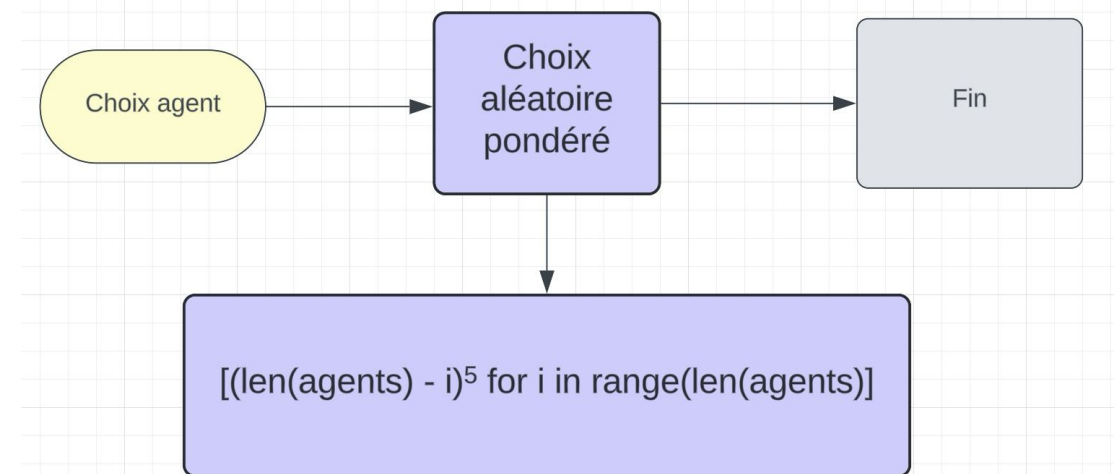
Réseau de neurone - Évolution 1



Fonctions:

- src.environment.next_generation()
- src.environment.mutate()
- src.environment.crossover()
- src.environment.linear_weighted_selection()

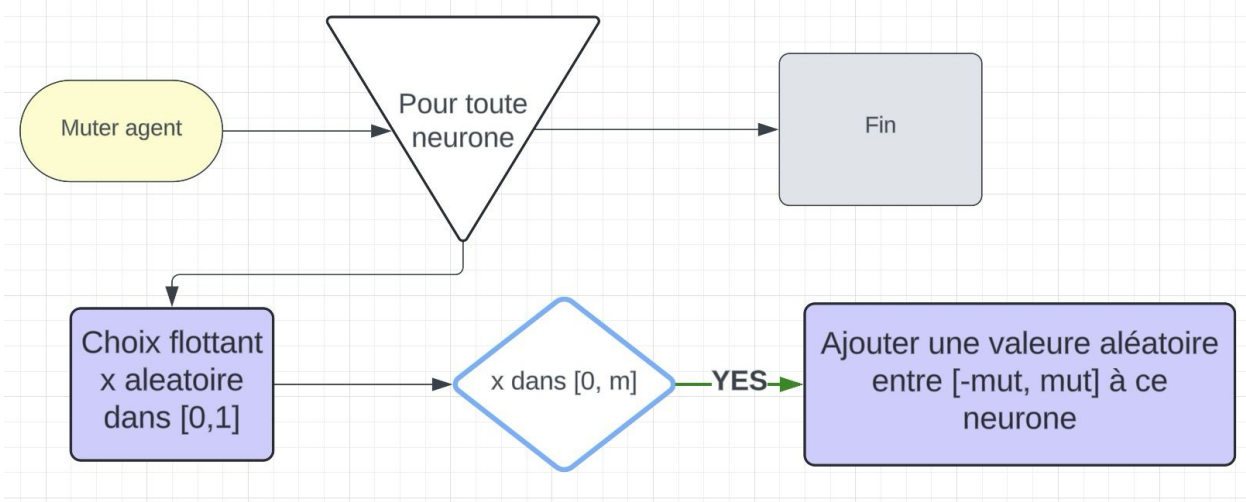
Réseau de neurone - Évolution 2



m: Paramètre fixé, choix empirique

Fonctions:

- `src.environment.linear_weighted_selection()`
- `src.agent.mutate()`

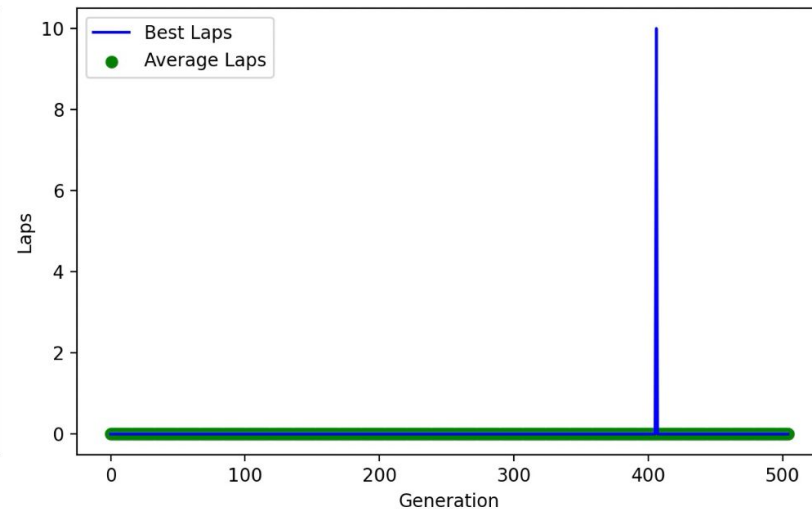
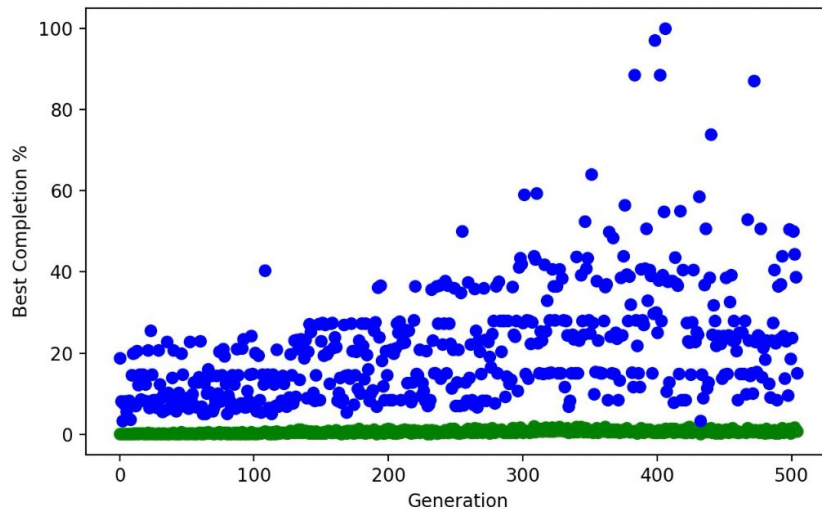


Réseau de neurone - Évaluation des agents

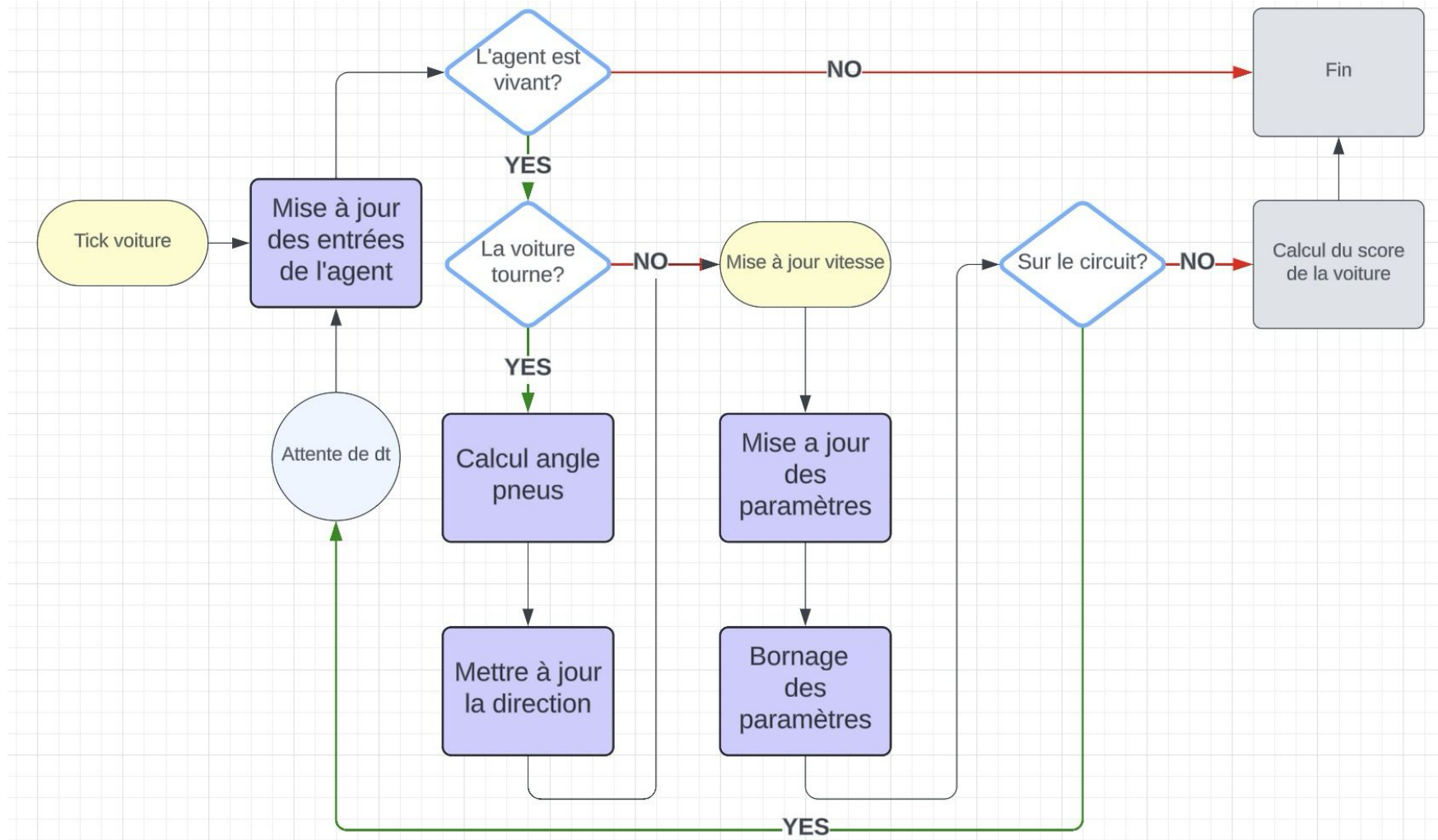
2 méthodes d'évaluation:

- Avant que l'agent soit capable de faire un tour complet \Rightarrow Fonction de score
- Après que celui-ci finisse un tour complet \Rightarrow Temps du tour

```
ranked_agents = sorted(self.agents, key=lambda x: (x.car.laps, x.car.score, -x.car.lap_time), reverse=True)
```

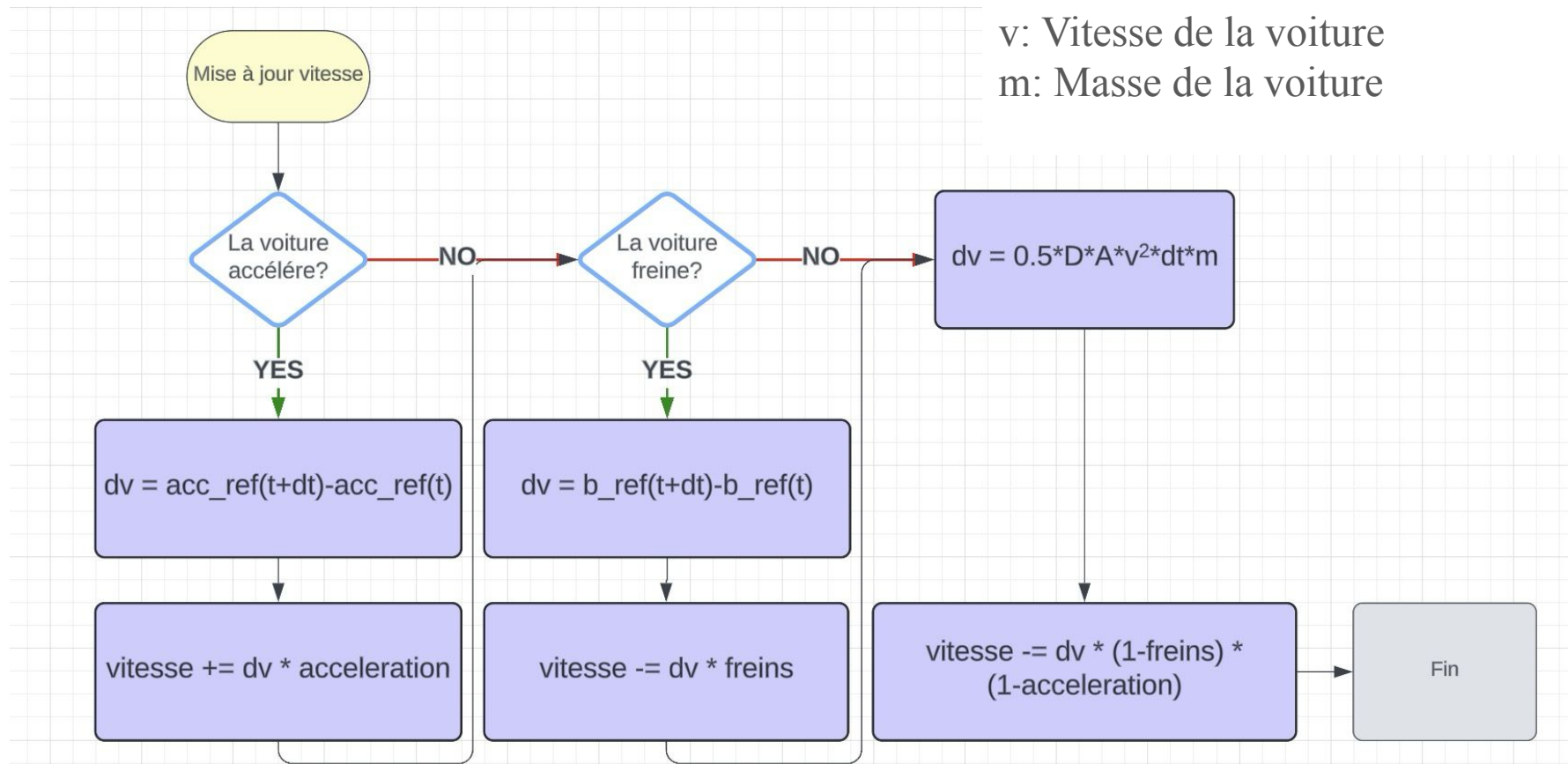


Modélisation physique - Voiture 1



Modélisation physique - Voiture 2

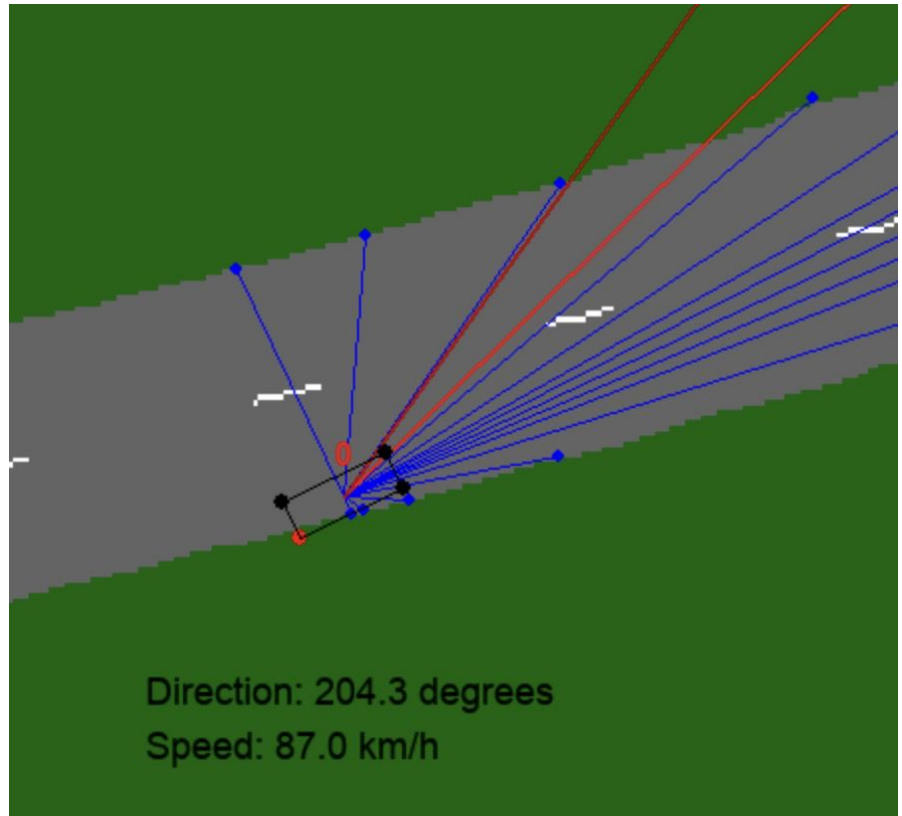
D: Viscosité dynamique
A: Surface de contact
v: Vitesse de la voiture
m: Masse de la voiture



Entrées du réseau

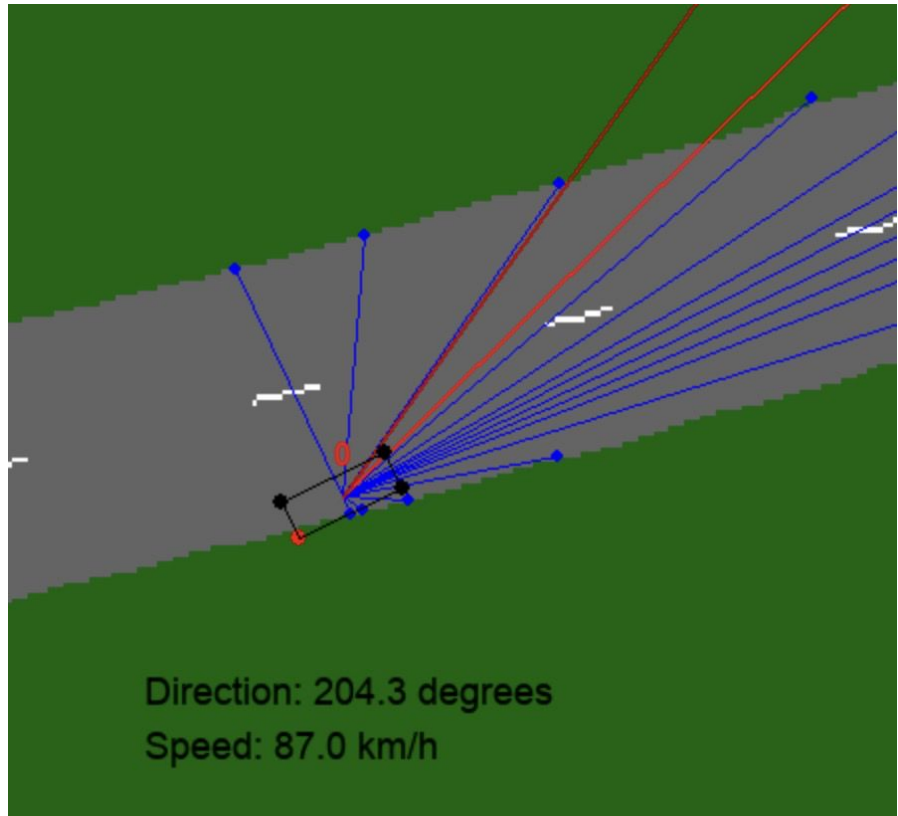
- **Bleu:** Distance à la bordure, pour différents angles relatif à la direction de la voiture (15)
- **Rouge:** Distances et angles par rapport aux prochains virages (2)
- **Ronds noir:** Roues de la voiture sur la route
- **Ronds rouge:** Roues de la voiture en dehors de la route
- Paramètres physiques

Total: 26 Entrées

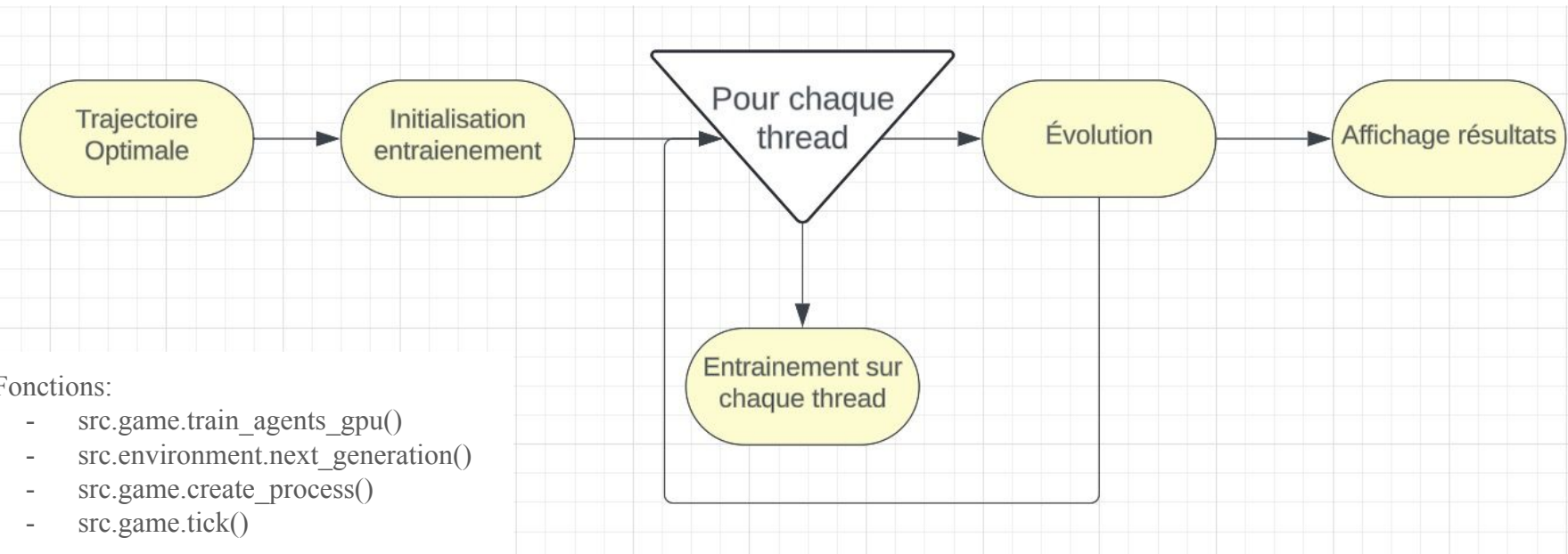


Obtentions des entrés

- **Bleu:** Ray tracing (GPU, binary search)
- **Rouge:** Calcul des prochains virages
(Algorithme de RANSAC et suivis de ligne,
GPU)
- **Noir:** Vérification matricielle (CPU)



Implémentation pour notre problème



Fonctions:

- src.game.train_agents_gpu()
- src.environment.next_generation()
- src.game.create_process()
- src.game.tick()

Obtention des circuits et limitations

- Google Maps ou images de circuits: résolution trop faible
- Format EPS (Vectoriel) transformés en matricielle en 5000x5000

Circuit exclus:

- Suzuka: circuit contenant 2 composantes connexes, compliqué à implémenter
- Circuits avec trop de variations de hauteur ou de virages en inclinaisons

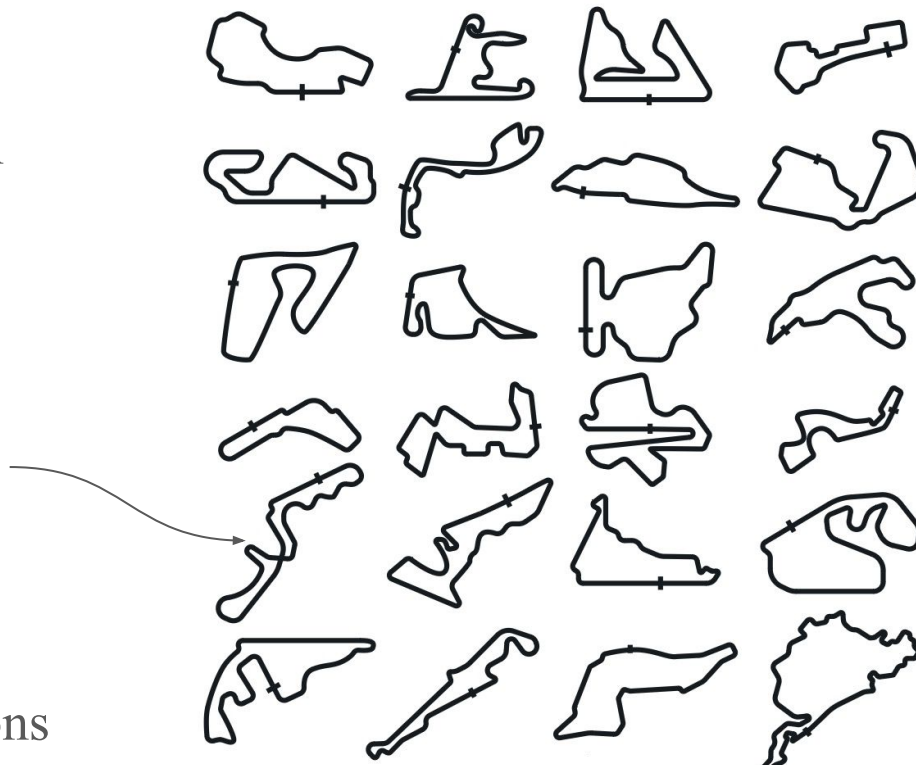
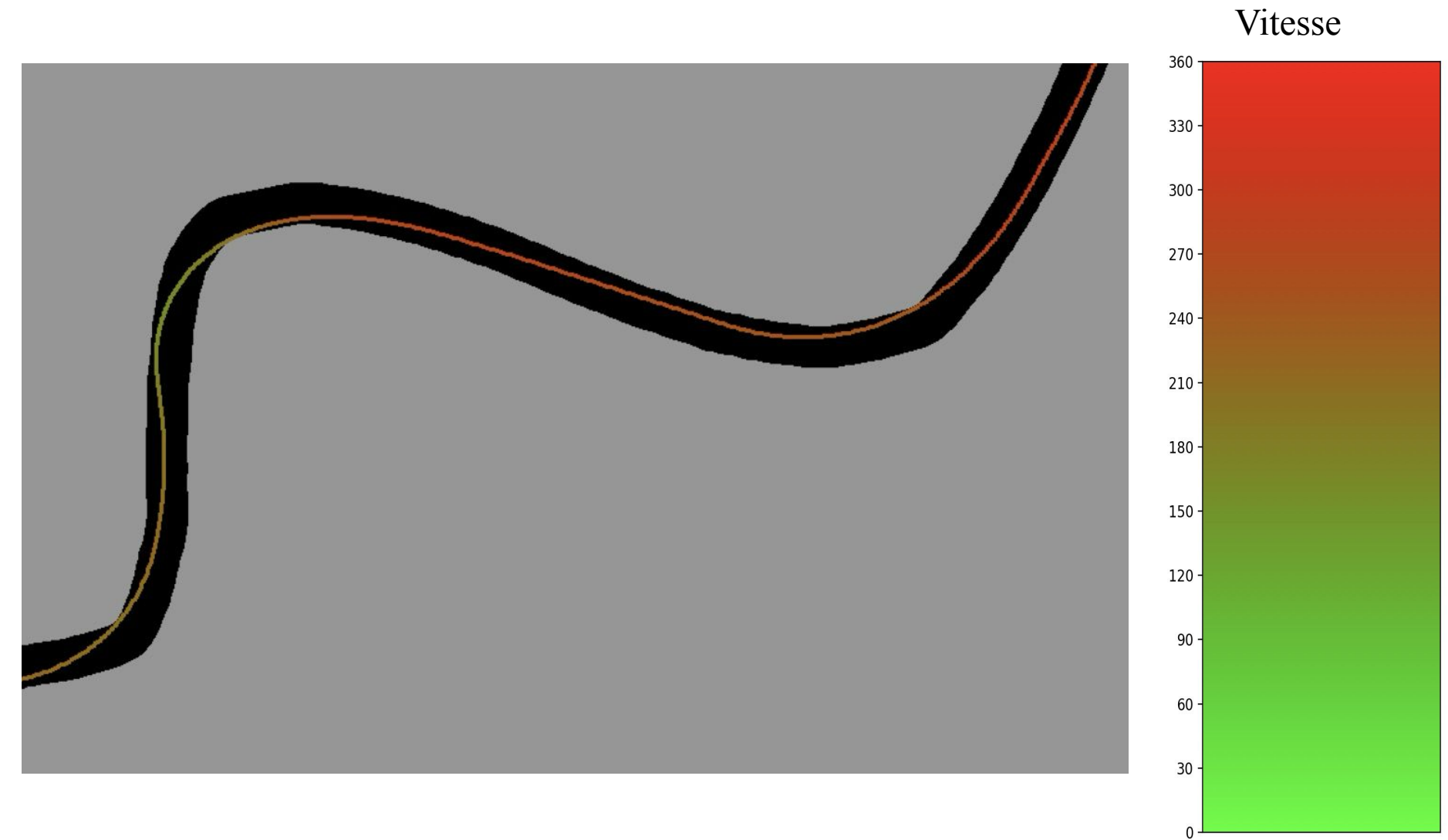
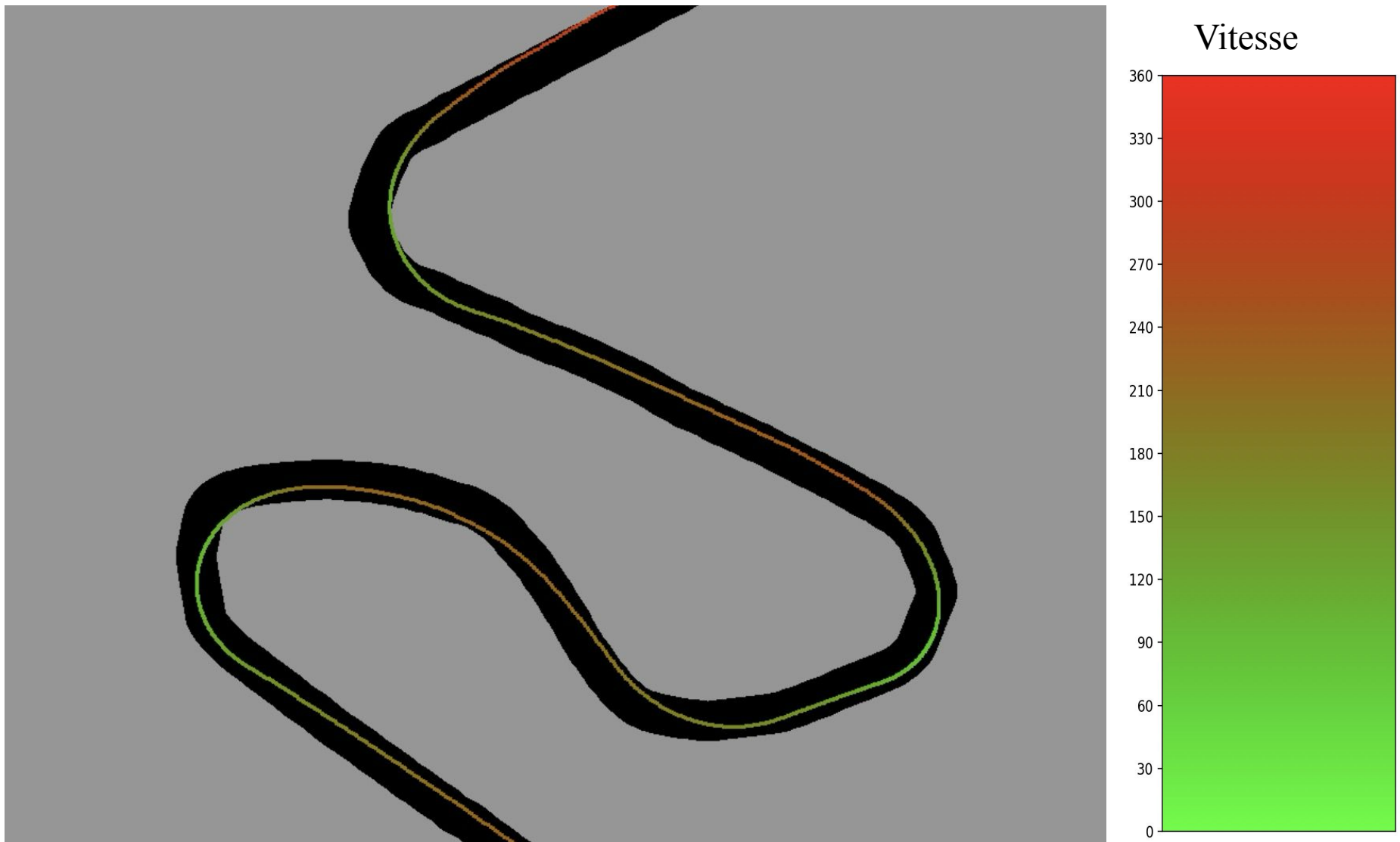


Illustration: Source utilisé pour les circuits^[12]

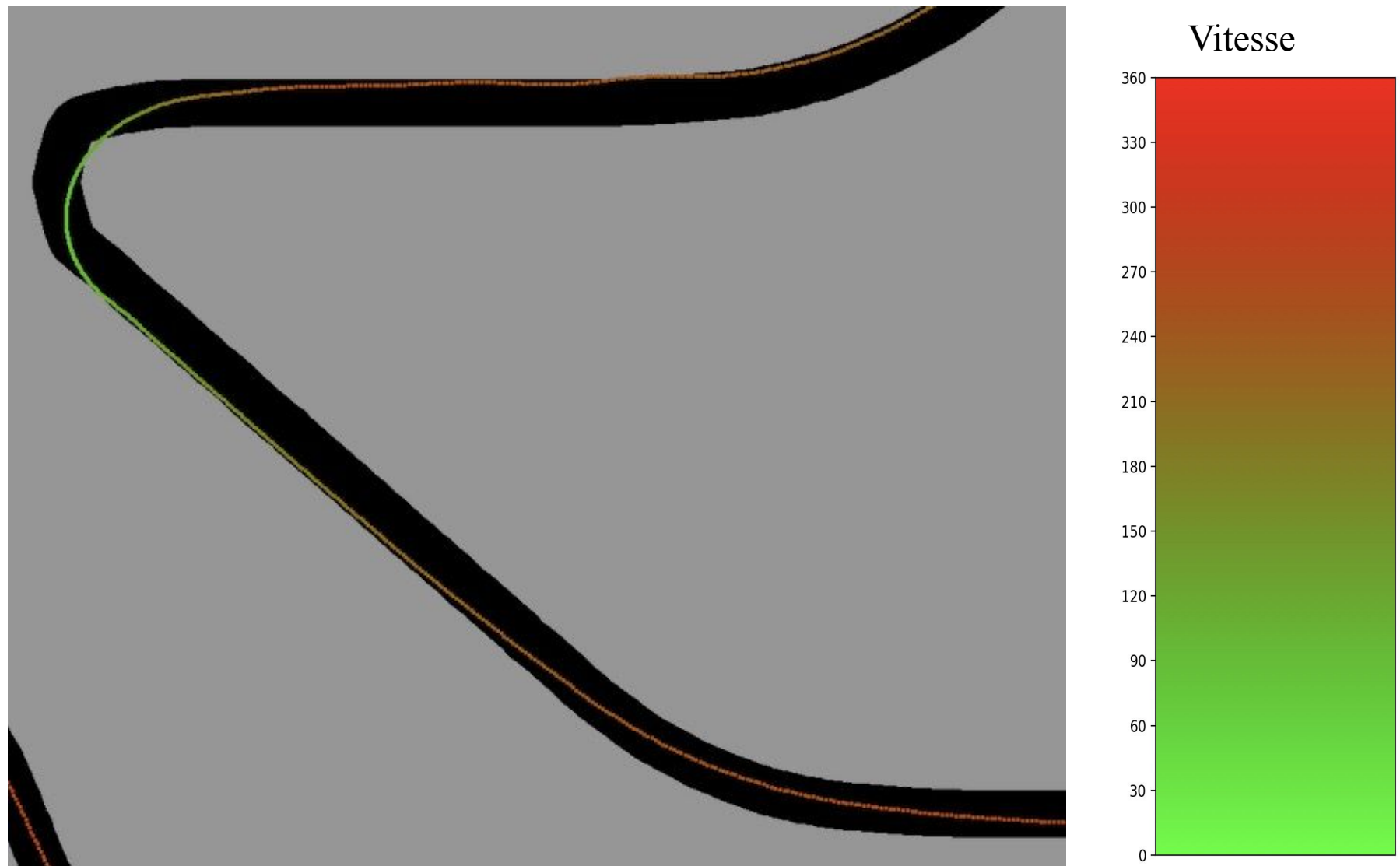
Visualisations supplémentaires - 1



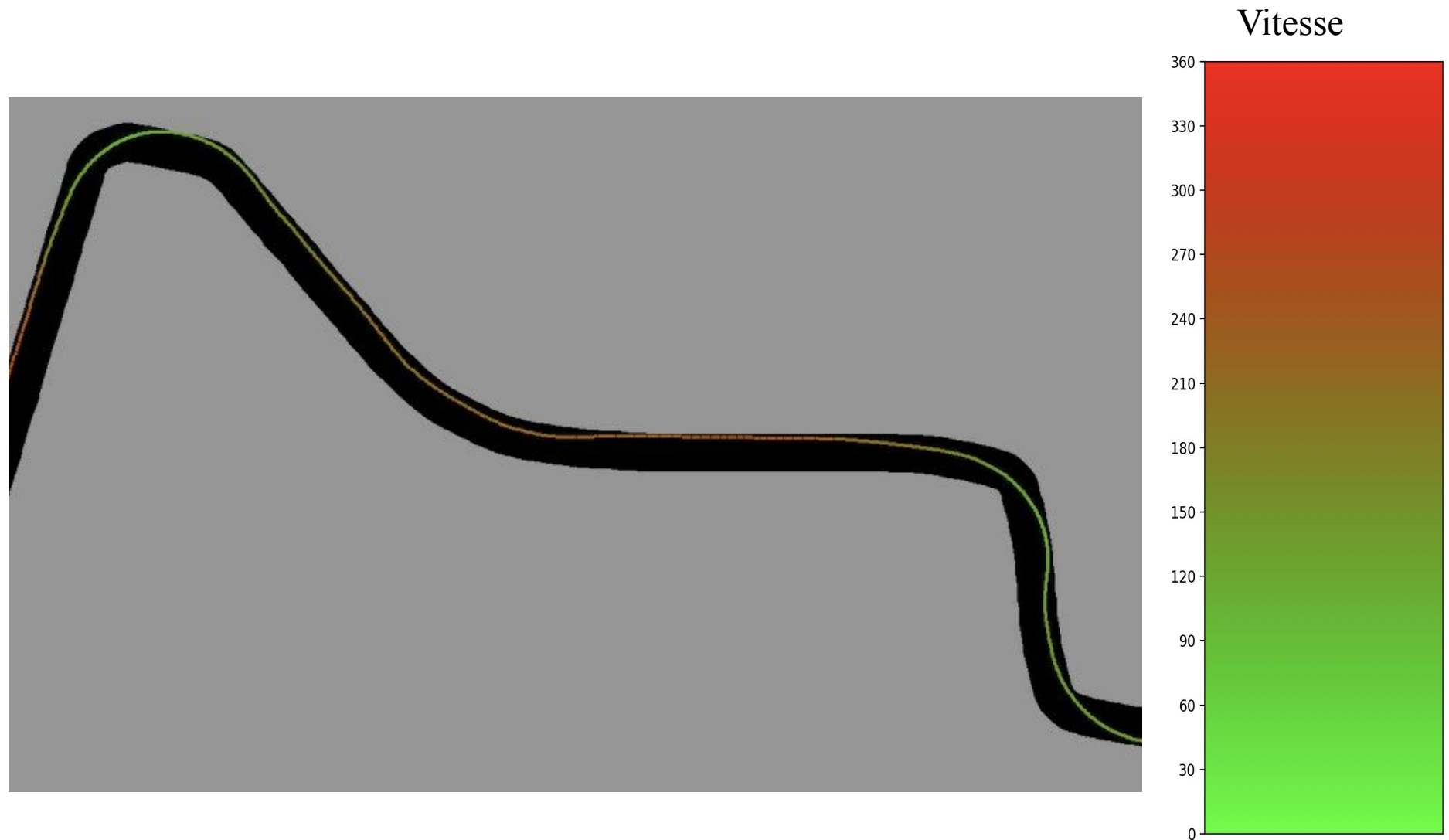
Visualisations supplémentaires - 2



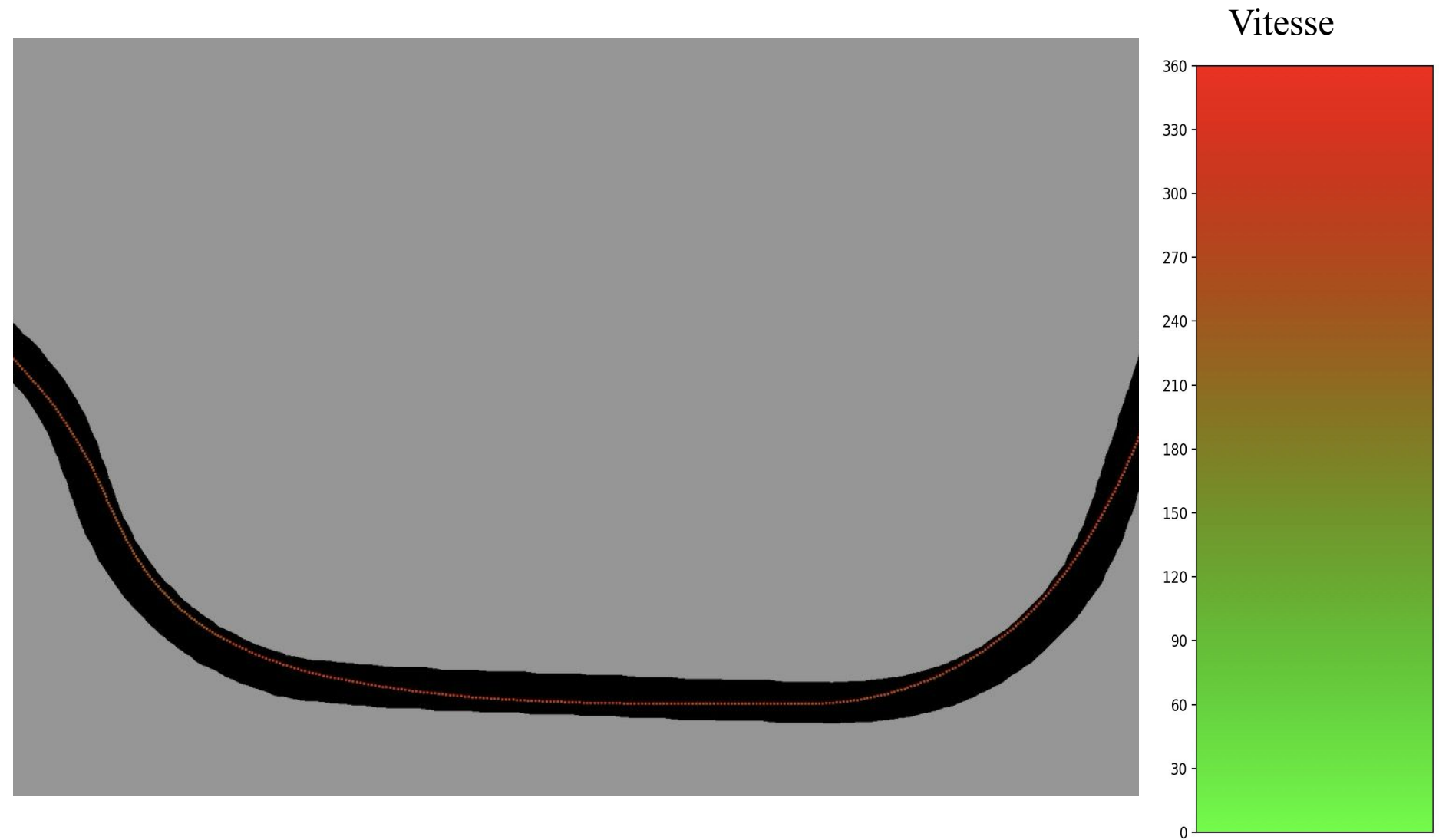
Visualisations supplémentaires - 3



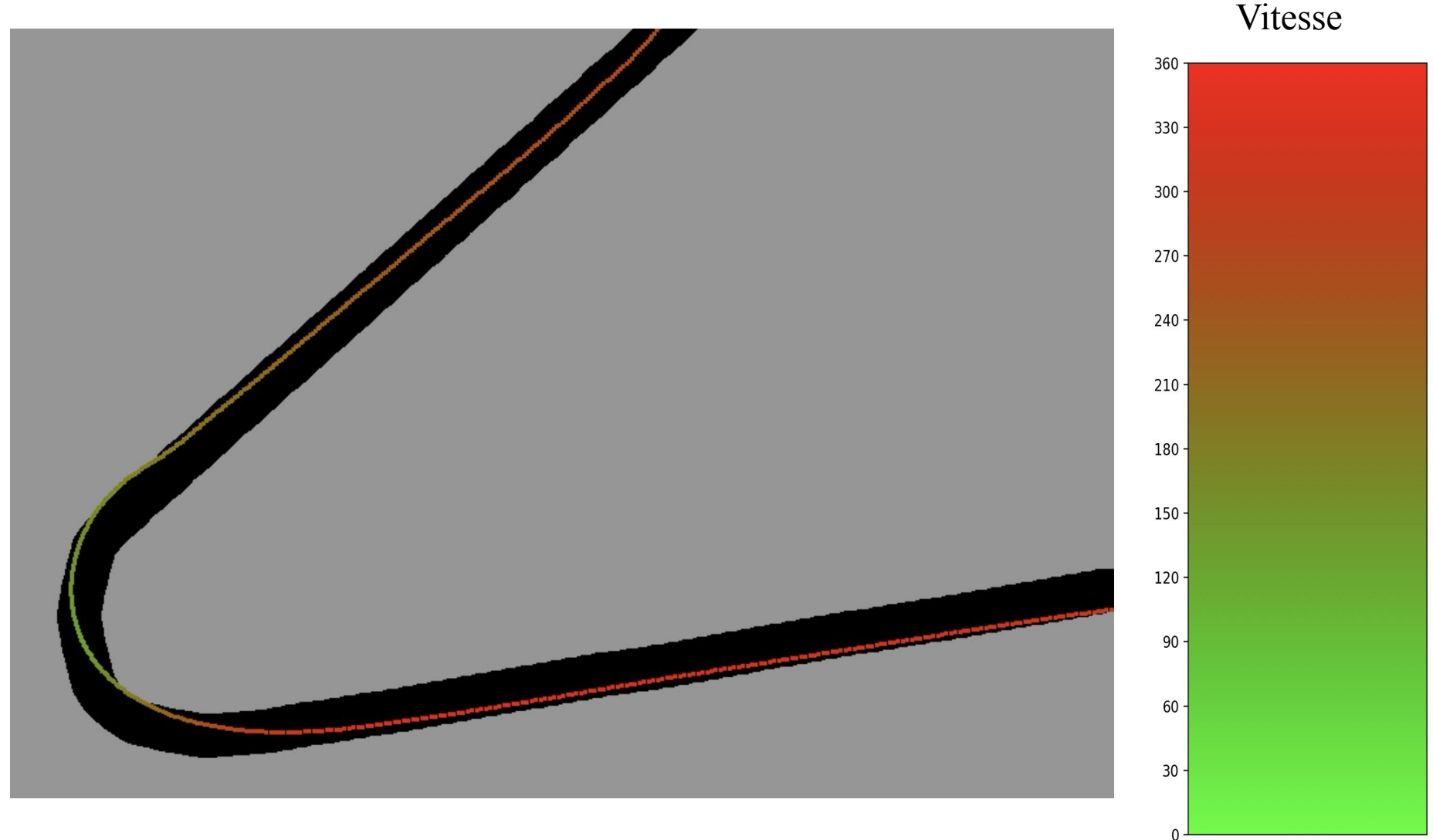
Visualisations supplémentaires - 4



Visualisations supplémentaires - 5



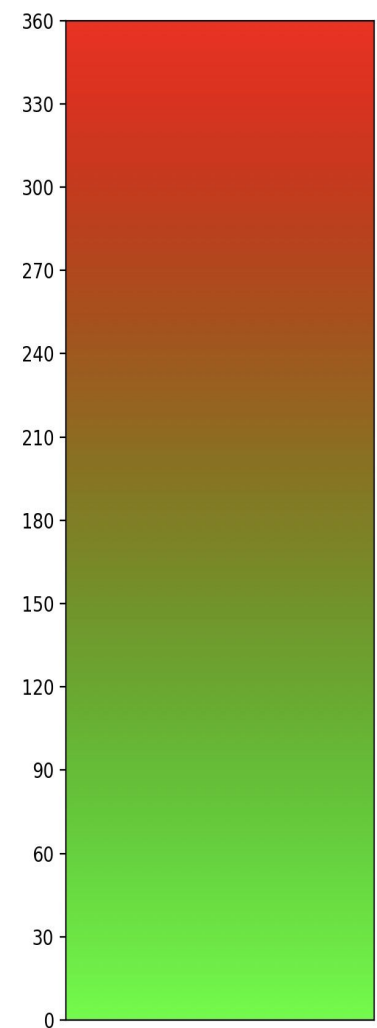
Visualisations supplémentaires - 6



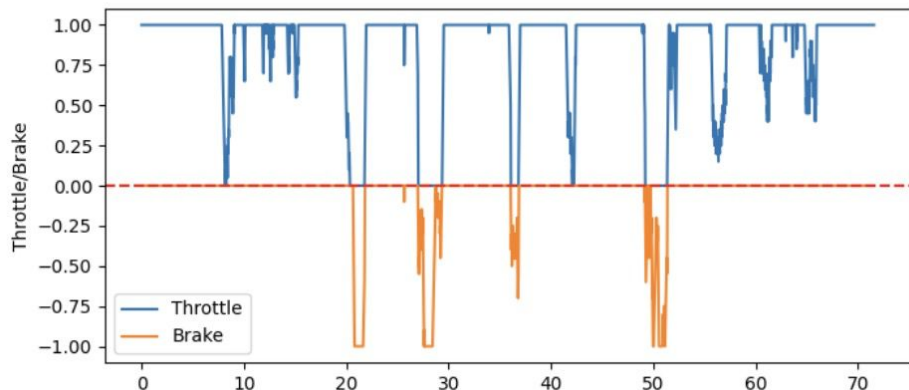
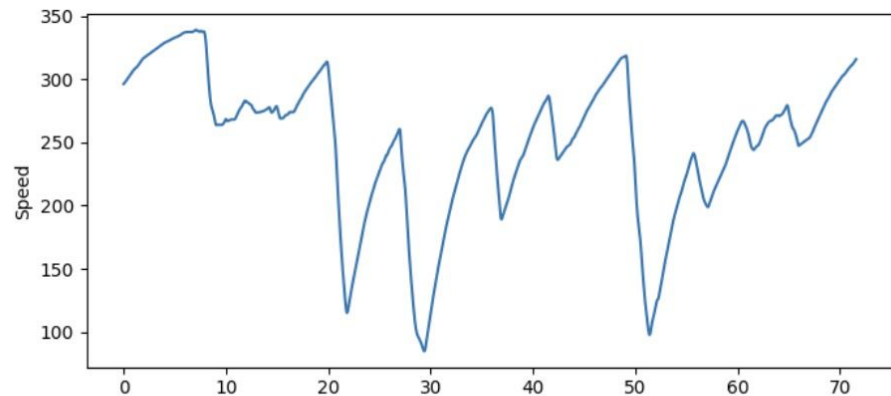
Visualisations supplémentaires - 7



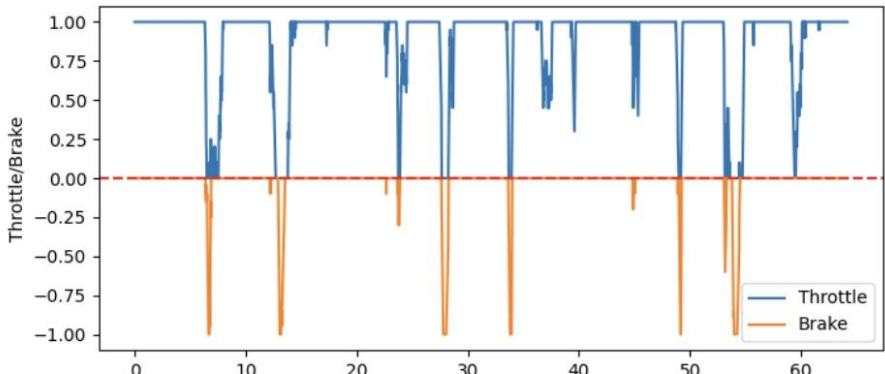
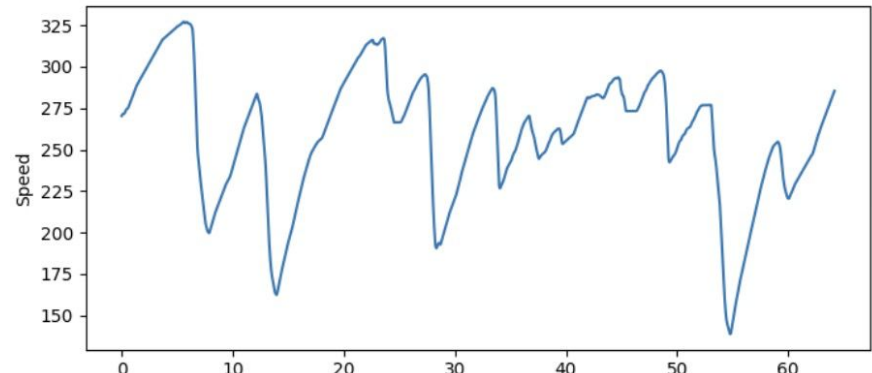
Vitesse



Visualisations supplémentaires - 8



Circuit: Barcelona-Catalunya (Espagne)



Circuit: Hungaroring (Hongrie)

Théorie - Démonstration

BDF :

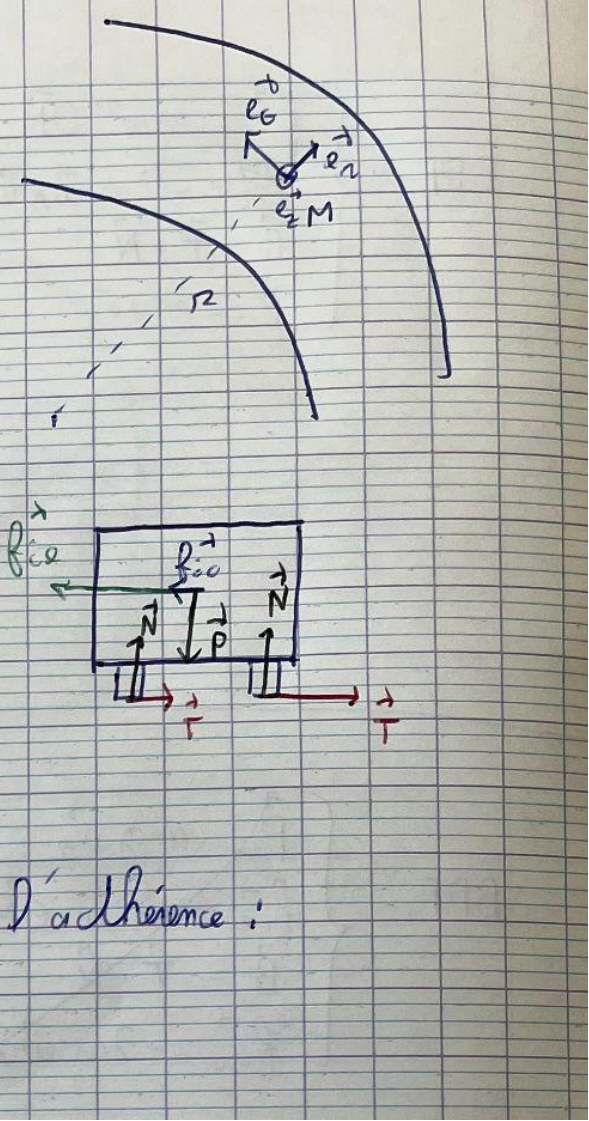
$$\left\{ \begin{array}{l} \vec{P} = -mg\hat{e}_2 \\ \vec{f}_{co} = -2m\vec{\omega} \wedge \vec{v}_{R_v} \\ \vec{f}_{ce} = m\omega^2 \vec{OM} \\ \vec{R} = \vec{T} + \vec{N} \end{array} \right.$$

Avec R_v référentiel de la vitesse, en rotation uniforme autour de R_T supposé galiléen.

Donc, $\vec{v}_{R_v} = \vec{0}$

Lai de Coulomb pour le cas limite de l'adhérence :

$$\|\vec{T}\| = f \|\vec{N}\|$$



Théorie - Démonstration

D'après le PFD dans \mathbb{R}_v non galiléen, sur l'voiture

$$m\vec{a} = \vec{P} + \vec{R} + \vec{f_{ie}}$$

$$\setminus \vec{e}_n : 0 = -fmg + m\omega^2 r$$

$$\Leftrightarrow m \frac{\omega^2 r}{r} = fmg$$

$$\Leftrightarrow \omega_{max} = \sqrt{fmg}$$

Avec \vec{F}_{aero} , $\vec{F}_{aero} = -m_{sup}g\vec{e}_z$

$$m\vec{a} = \vec{P} + \vec{R} + \vec{f_{ie}} + \vec{F}, \quad \|\vec{F}\| = f(\|\vec{N}\| + \|\vec{F}\|) = fg(m+m_{sup})$$

$$\text{D'où } \omega_{max} = \sqrt{\frac{(m+m_{sup})}{m}fg}$$